

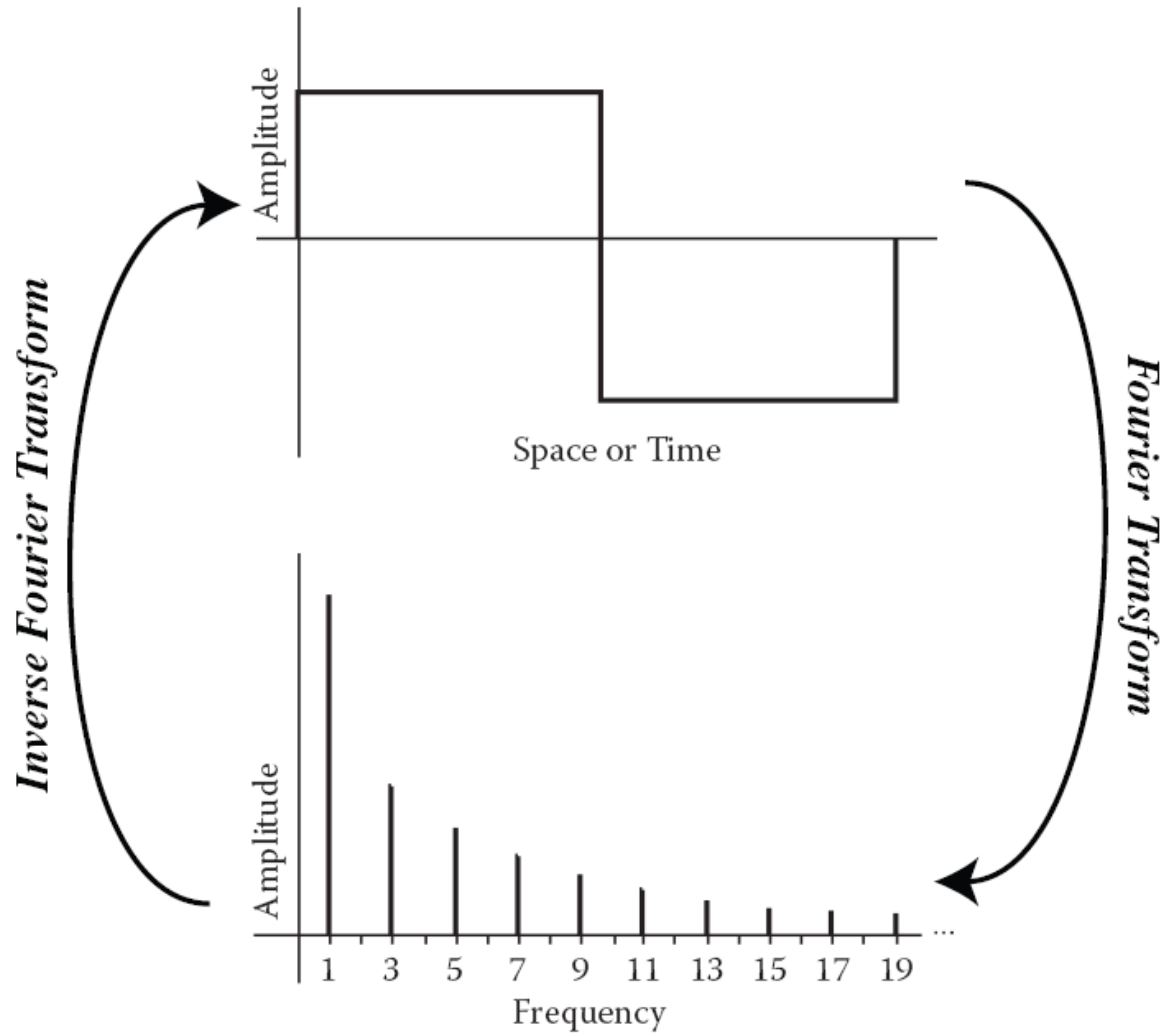
SEL 0449 - Processamento Digital de Imagens Médicas

Aula 5 – Propriedades da Transformada de Fourier

Prof. Dr. Marcelo Andrade da Costa Vieira

mvieira@sc.usp.br

Transformada de Fourier

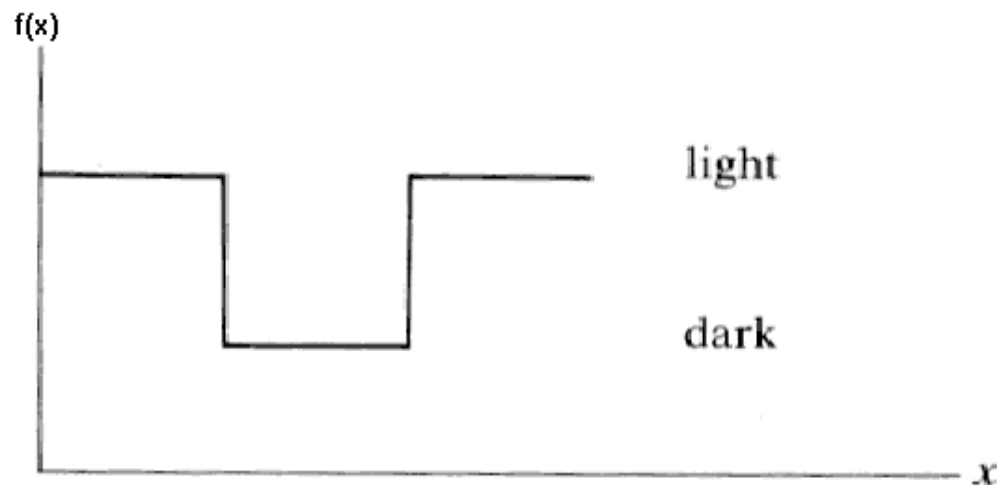


E em uma Imagem?

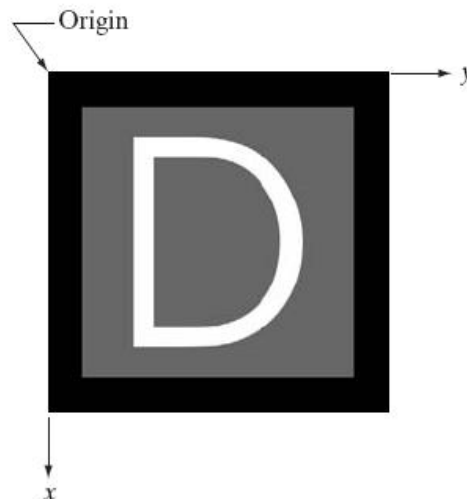
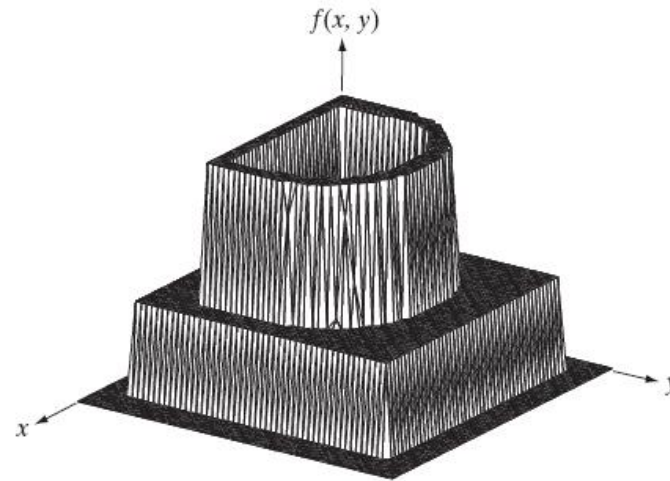
Uma linha de uma imagem formada por uma sequência de pixels de diferentes intensidades:



Pode ser representada no domínio do espaço como uma forma de onda:



Representação de uma Imagem como uma função bidimensional

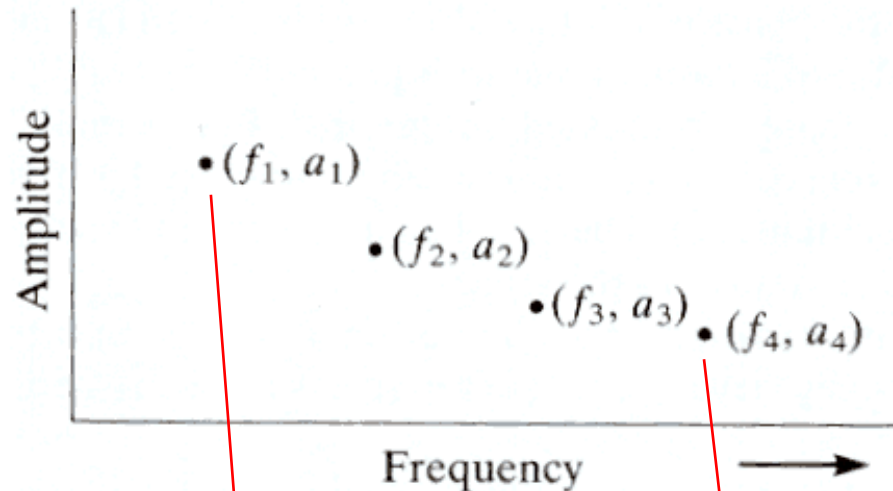


Origin

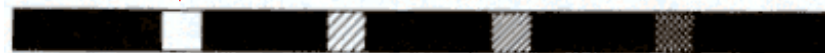
```
0 0 0 0 0 0 0 0 . . . 0 0 0 0 0 0 0 0
0 0 0 0 0 0      0 0 0 0 0 0
0 0 0 0 0      0 0 0 0 0
0 0 0 0 :      0 0 0 0
0 0 0 . . .5.5.5 . .      0 0 0
0 0 0 .5.5      0 0 0
: .5 .      :
: :      1 1 1 . .      :
: :      1 1      :
0 0 0      1 . .      0 0 0
0 0 0      :      0 0 0
0 0 0 0      :      0 0 0 0
0 0 0 0 0      0 0 0 0 0
0 0 0 0 0 0      0 0 0 0 0
0 0 0 0 0 0 0 . . . 0 0 0 0 0 0 0 0
```

Domínio da frequência

E no **Domínio da Frequência** pode ser representada por uma soma de senos e cossenos, através de suas frequências (f) e amplitudes (a):



Que podem ser colocadas no formato de uma imagem como uma linha de amplitudes em escala de cinza.

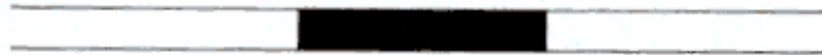


Transformada inversa

Diz-se então, que a imagem gerada através das amplitudes das frequências:



É a **Transformada no domínio da frequência** da imagem original dada no domínio do espaço:



É possível aplicar sobre a imagem no domínio da frequência, uma **Transformada Inversa**, obtendo a Imagem original.

Propriedades da DFT 2-D

1) Periodicidade e Simetria Conjugada

| | Domínio do espaço* | | Domínio da frequência* |
|----|------------------------------|-------------------|--------------------------------|
| 1 | $f(x, y)$ real | \Leftrightarrow | $F^*(u, v) = F(-u, -v)$ |
| 2 | $f(x, y)$ imaginária | \Leftrightarrow | $F^*(-u, -v) = -F(u, v)$ |
| 3 | $f(x, y)$ real | \Leftrightarrow | $R(u, v)$ par; $I(u, v)$ ímpar |
| 4 | $f(x, y)$ imaginária | \Leftrightarrow | $R(u, v)$ ímpar; $I(u, v)$ par |
| 5 | $f(-x, -y)$ real | \Leftrightarrow | $F^*(u, v)$ complexa |
| 6 | $f(-x, -y)$ complexa | \Leftrightarrow | $F(-u, -v)$ complexa |
| 7 | $f^*(x, y)$ complexa | \Leftrightarrow | $F^*(-u, -v)$ complexa |
| 8 | $f(x, y)$ real e par | \Leftrightarrow | $F(u, v)$ real e par |
| 9 | $f(x, y)$ real e ímpar | \Leftrightarrow | $F(u, v)$ imaginária e ímpar |
| 10 | $f(x, y)$ imaginária e par | \Leftrightarrow | $F(u, v)$ imaginária e par |
| 11 | $f(x, y)$ imaginária e ímpar | \Leftrightarrow | $F(u, v)$ real e ímpar |
| 12 | $f(x, y)$ complexa e par | \Leftrightarrow | $F(u, v)$ complexa e par |
| 13 | $f(x, y)$ complexa e ímpar | \Leftrightarrow | $F(u, v)$ complexa e ímpar |



Propriedades da DFT 2-D

1) Periodicidade e Simetria Conjugada

A transformada discreta de Fourier (DFT) e sua inversa são periódicas:

$$F(u, v) = F(u + N, v) = F(u, v + N) = F(u + N, v + N)$$

Sendo N a dimensão da imagem.

Se $f(x, y)$ for real, a DFT apresenta simetria conjugada:

$$F(u, v) = F^*(-u, -v)$$

ou

$$|F(u, v)| = |F(-u, -v)|$$

Exemplo unidimensional

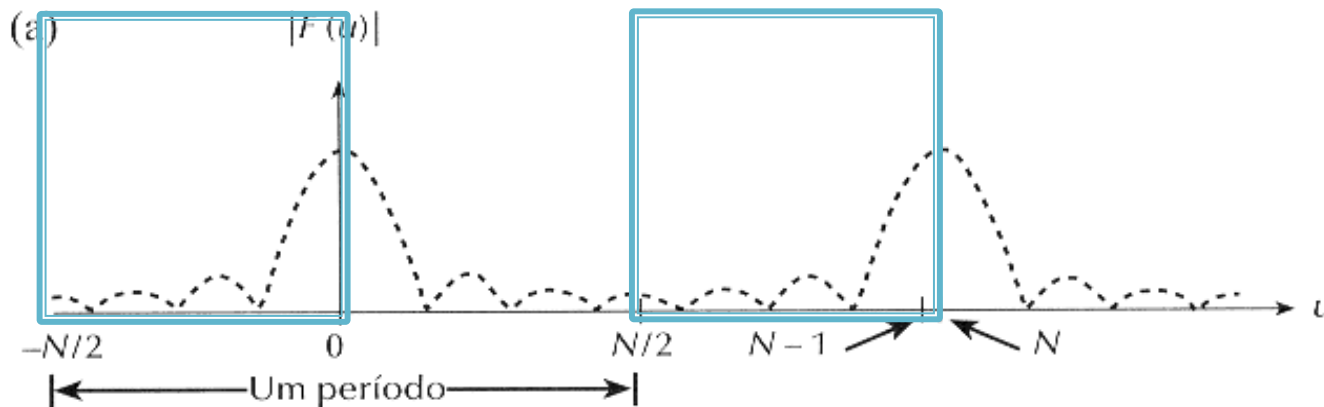
1) Periodicidade e Simetria Conjugada

$$F(u) = F(u + N)$$

Magnitude centrada na origem

$$|F(u)| = |F(-u)|$$

Reflexões

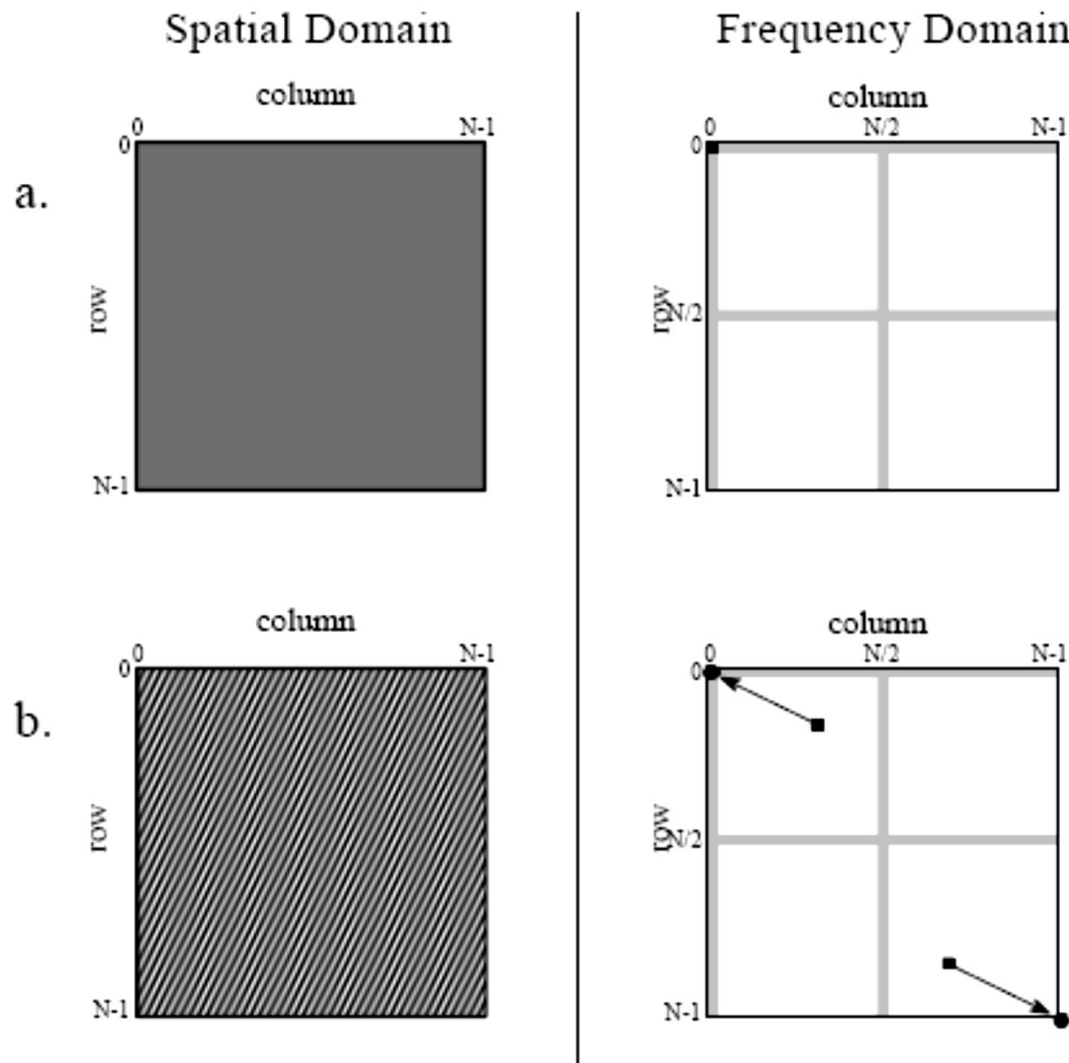


A transformada é formulada para valores de u no intervalo $[0, N-1]$

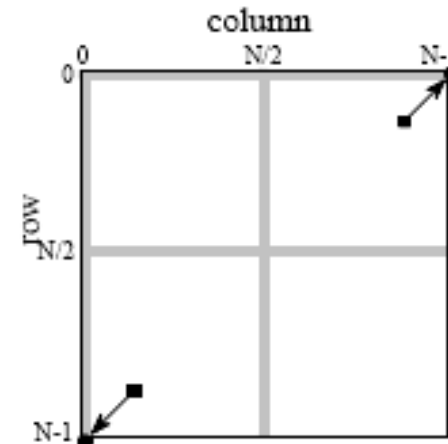
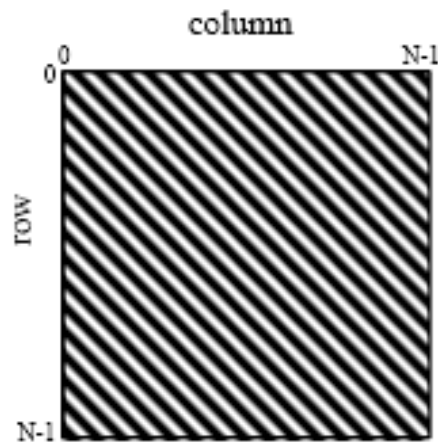
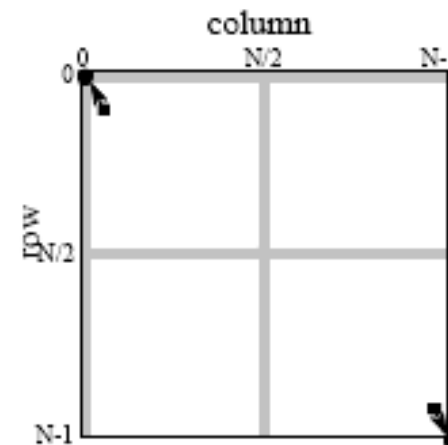
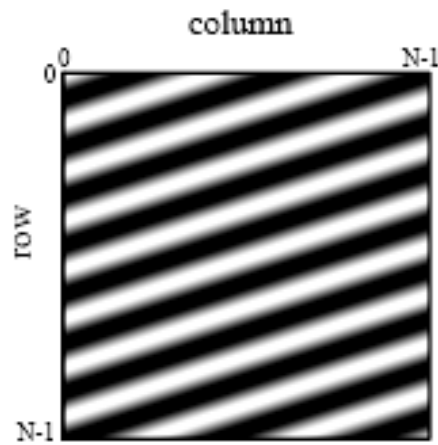
Espectro de Fourier 2-D (imagem)

- Para uma função unidimensional, o espectro de Fourier fornece informação (frequência, amplitude e fase) sobre as senóides (1D) que devem ser somadas para formar a função desejada;
- Para uma função bidimensional, o espectro de Fourier fornece informação (frequência, amplitude, fase e direção) sobre as ondas senoidais (2D) que devem ser somadas para formar a função desejada;

Espectro de Fourier Bidimensional (imagem)



Espectro de Fourier Bidimensional (imagem)



Propriedades da Transformada 2-D

2) Translação

Multiplicar $f(x,y)$ pelo termo exponencial, conforme abaixo, e fazer a transformada deste produto, resulta em um deslocamento da origem do plano das frequências para o ponto (u_0, v_0) .

$$f(x, y) \exp[j2\pi(u_0x + v_0y)/N] \Leftrightarrow F(u - u_0, v - v_0)$$

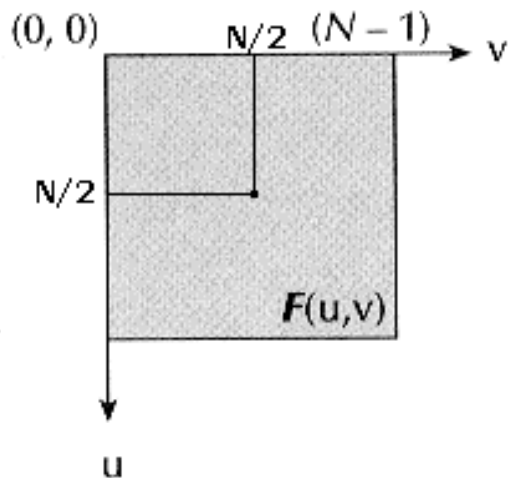
Multiplicar $F(u,v)$ pelo termo exponencial, conforme abaixo, e fazer a Transformada Inversa deste produto, resulta em um deslocamento da origem do plano espacial para o ponto (x_0, y_0) .

$$f(x - x_0, y - y_0) \Leftrightarrow F(u, v) \exp[-j2\pi(ux_0 + vy_0)/N]$$

Propriedades da Transformada 2-D

Fazendo $u_0 = v_0 = N/2$ a origem da transformada de Fourier de $f(x,y)$ pode ser movida para o centro do quadrado de frequências $N \times N$.

$$\exp[j2\pi(u_0x + v_0y)/N] = e^{j\pi(x+y)} = \cos\pi + j\sin\pi = (-1)^{x+y}$$



Ou seja:

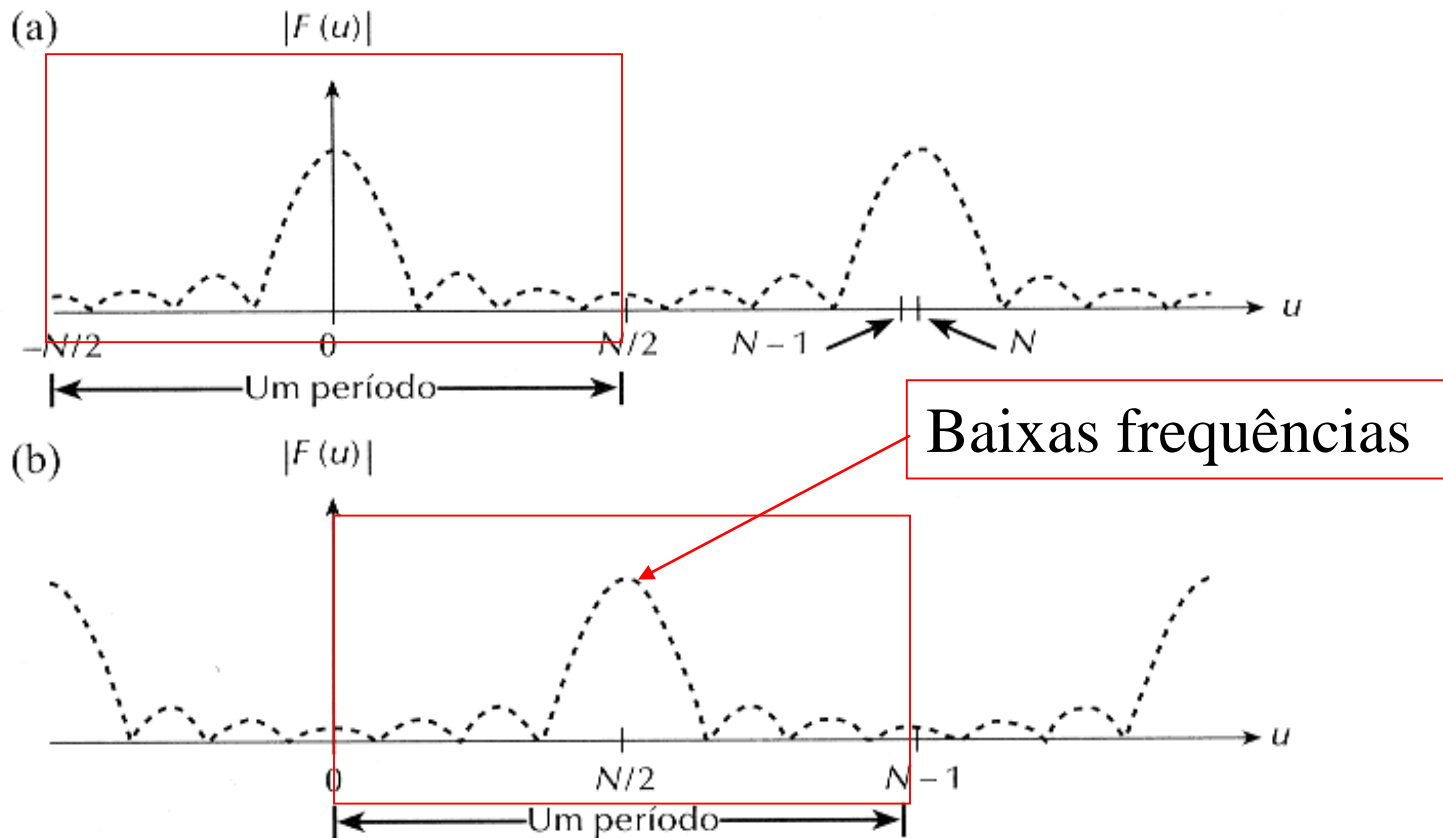
Multiplicar $f(x,y)$ por $(-1)^{x+y}$ e realizar a transformada de Fourier, simplesmente muda a origem das frequências para o centro do quadrado.

A magnitude da Transformada não é afetada:

$$|F(u, v) \exp[-j2\pi(ux_0 + vy_0)/N]| = |F(u, v)|$$

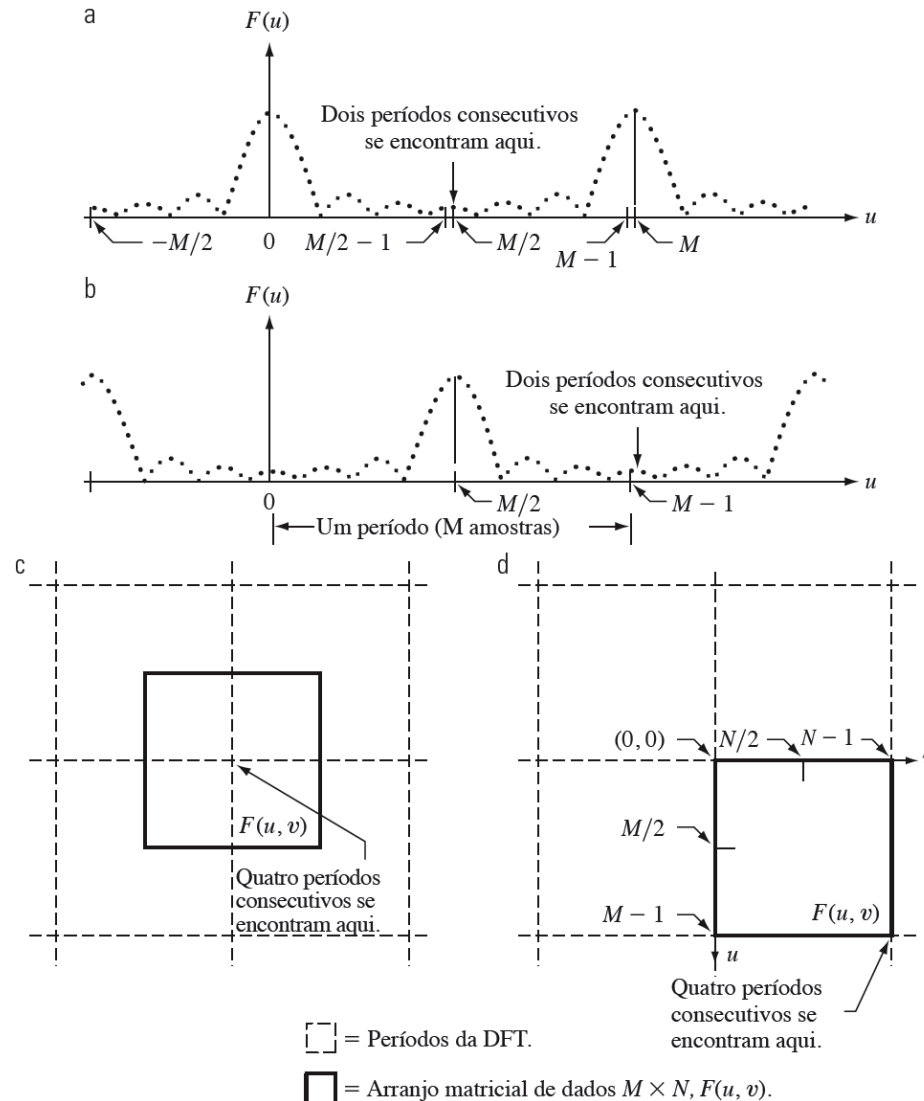
Exemplo unidimensional

Para exibir um período inteiro, basta mover a origem da transformada para o ponto $u = N/2$



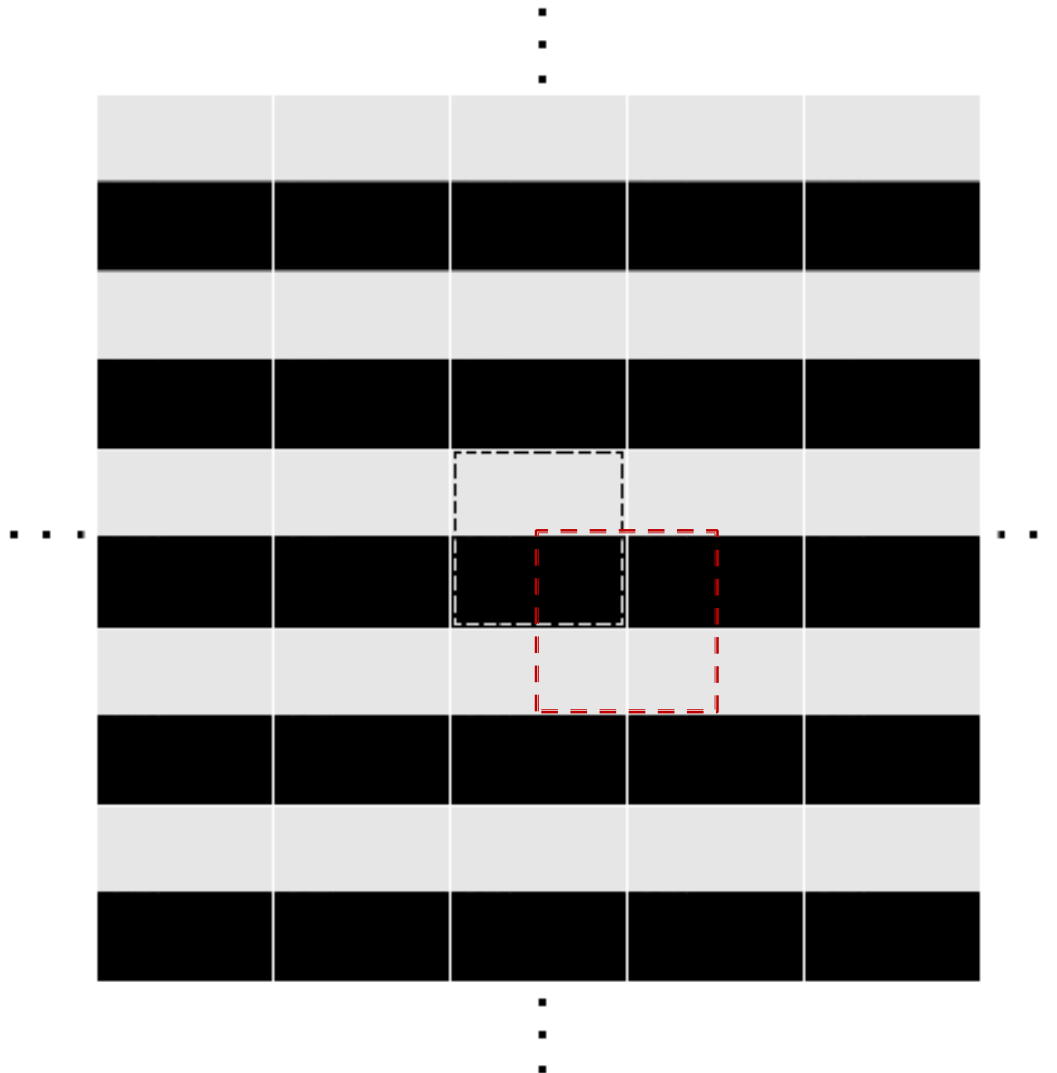
Espectro de Fourier Bidimensional (imagem)

Frequência Zero deslocada para o centro



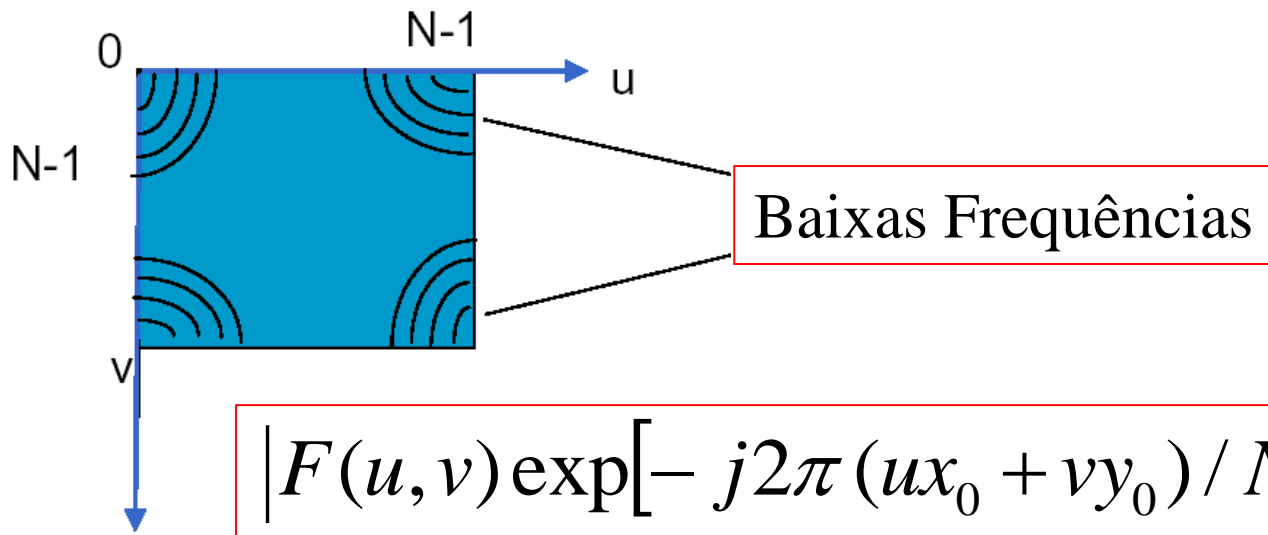
Espectro de Fourier Bidimensional (imagem)

Frequência Zero deslocada para o centro

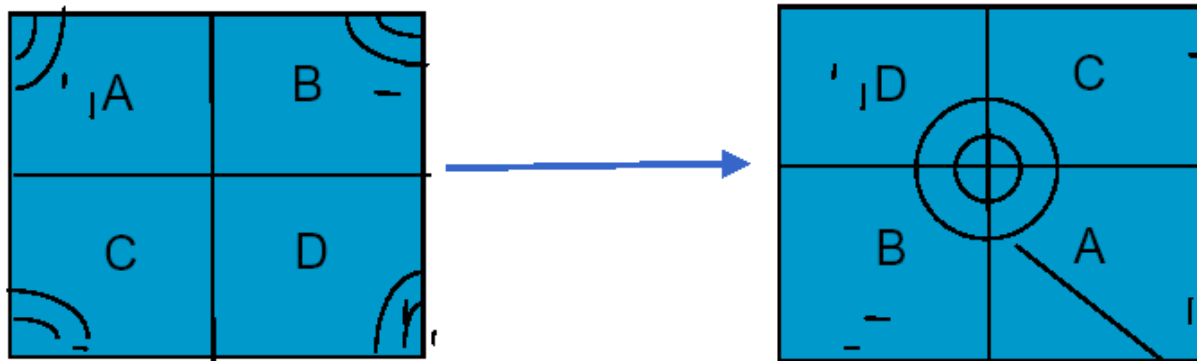


Espectro de Fourier Bidimensional (imagem)

Frequência Zero deslocada para o centro

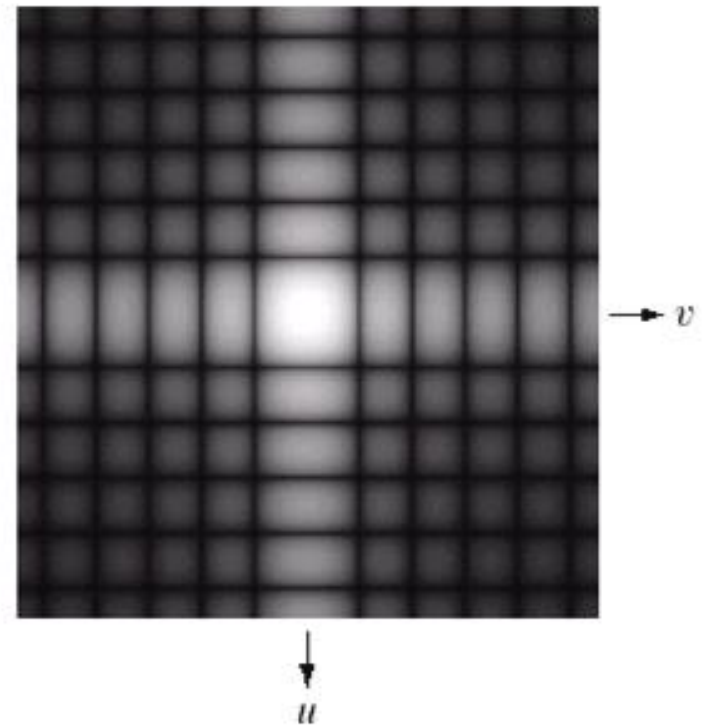
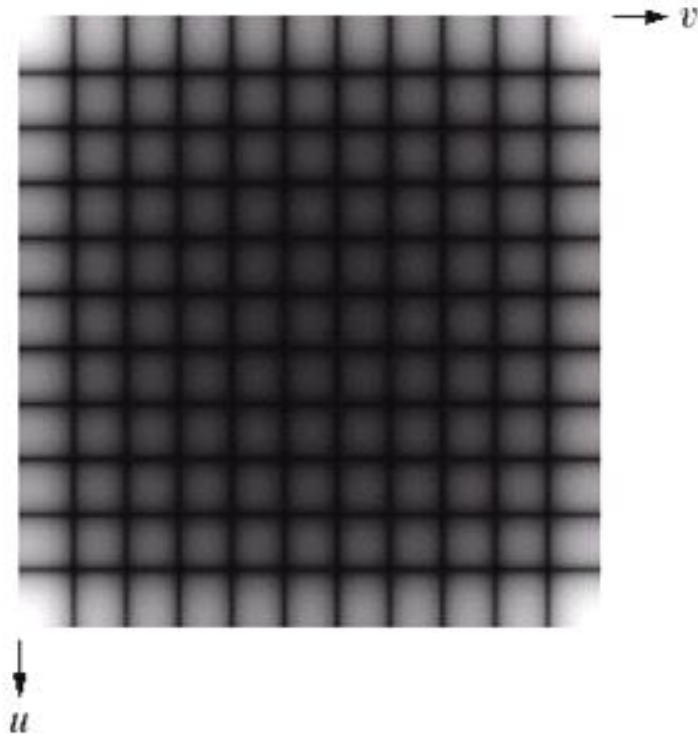
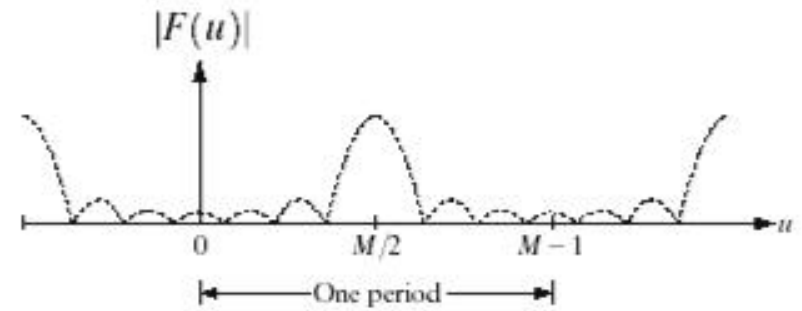
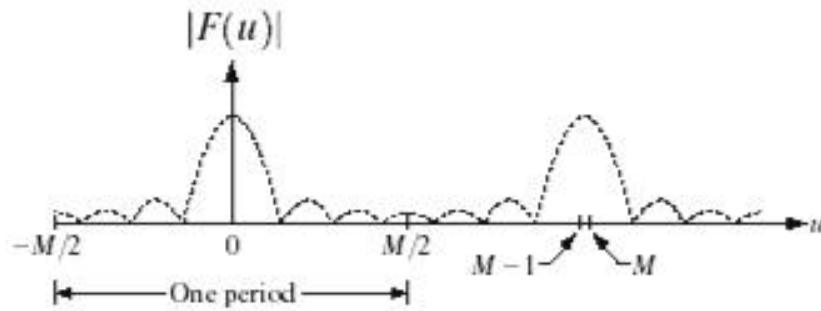


$$|F(u, v) \exp[-j2\pi (ux_0 + vy_0) / N]| = |F(u, v)|$$

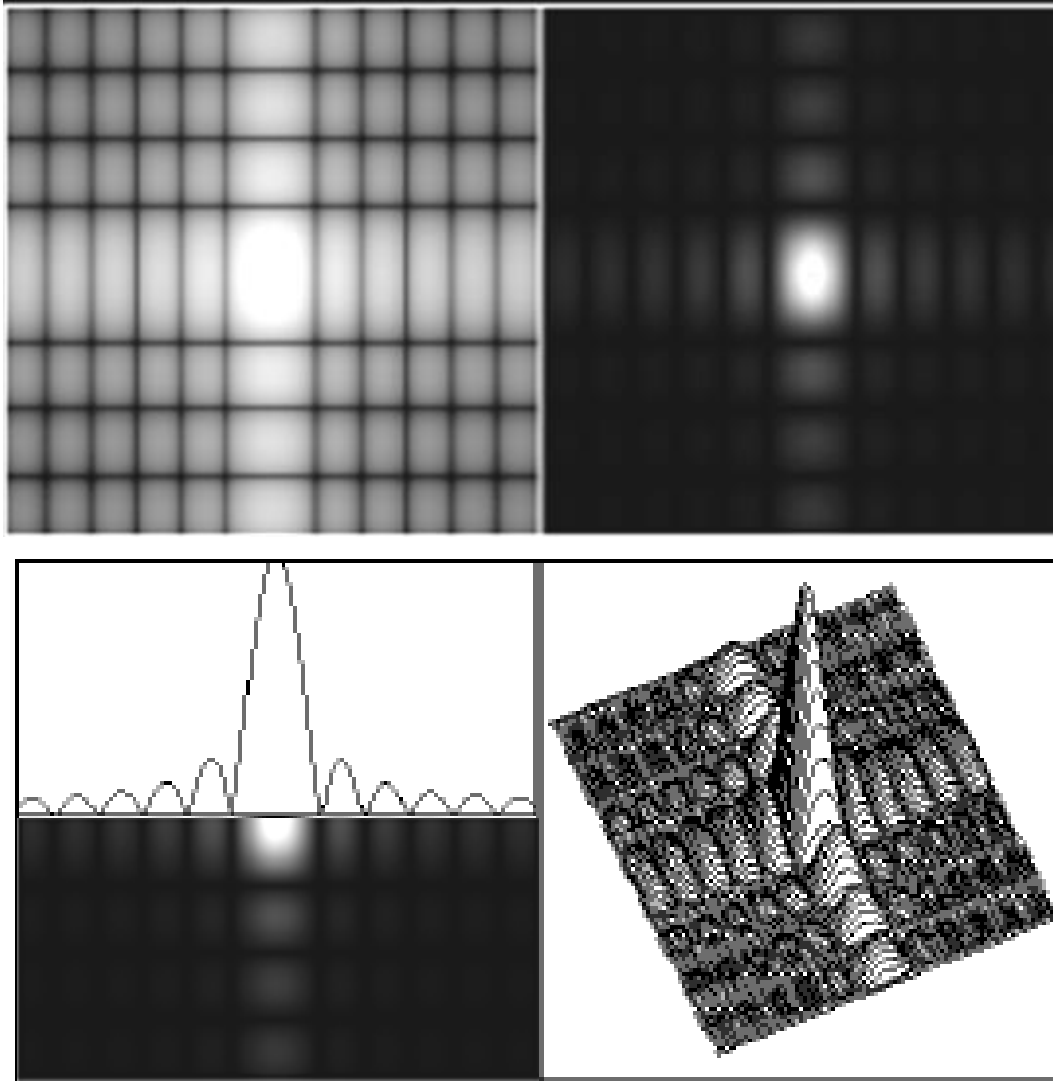


Baixas Frequências

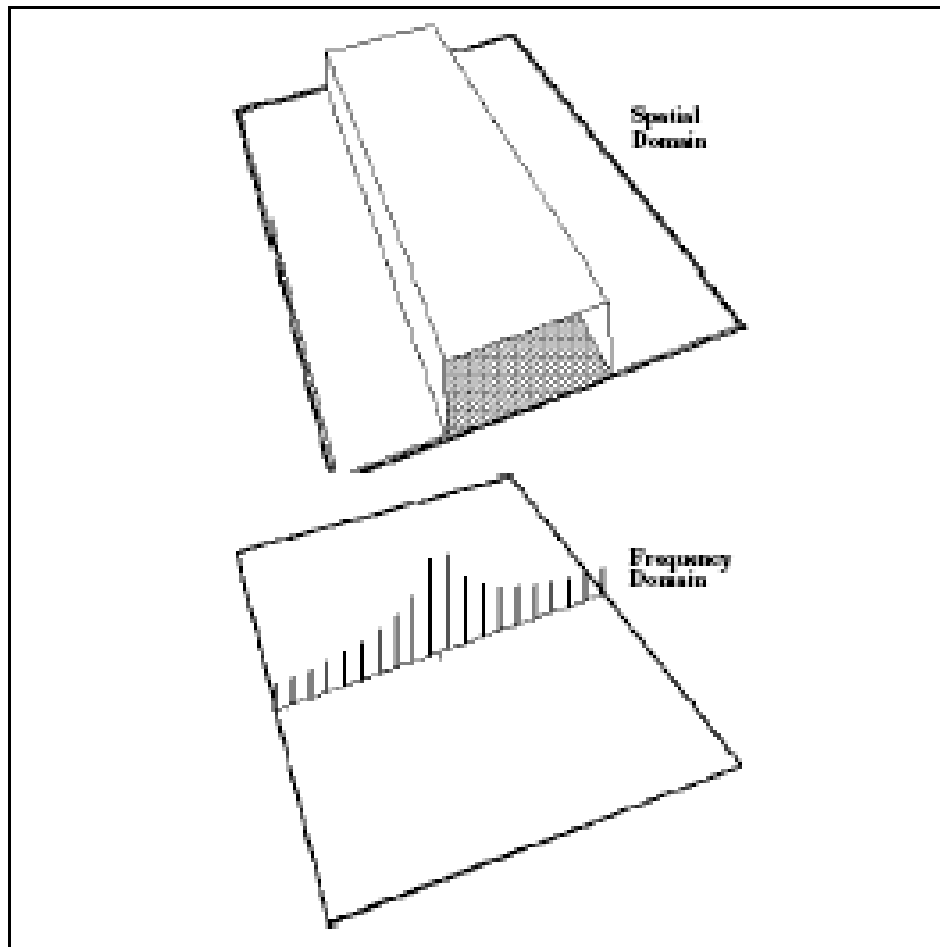
Espectro Unidimensional e Bidimensional



Espectro Unidimensional e Bidimensional



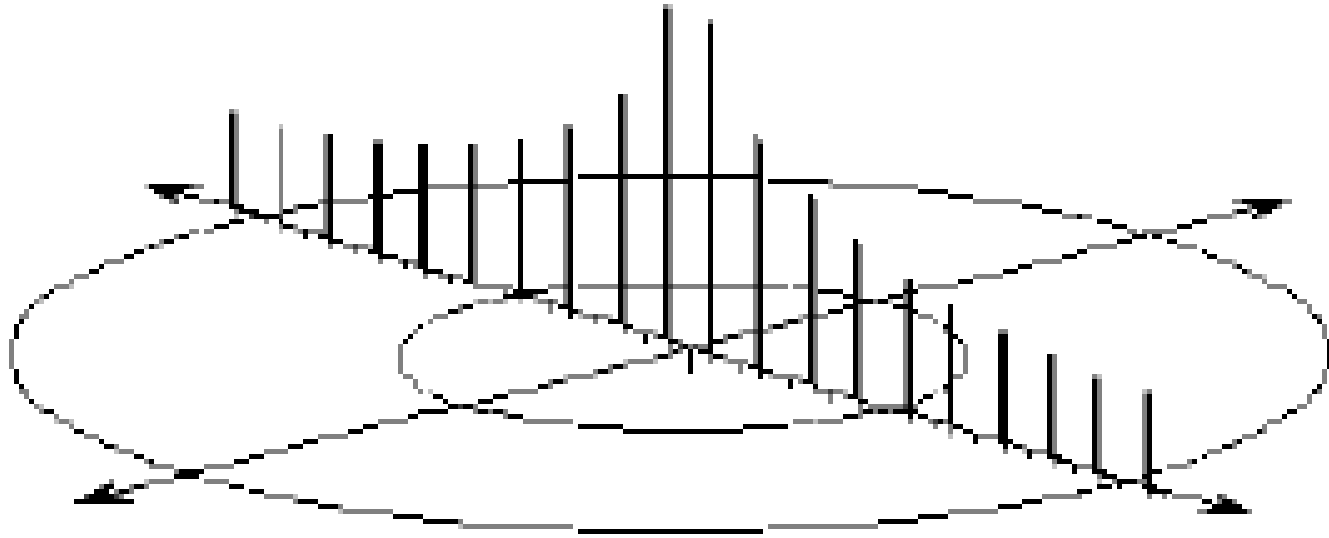
Exemplos:



← Padrão com variação de frequência em apenas uma direção (x). Nas outras direções a frequência é zero.

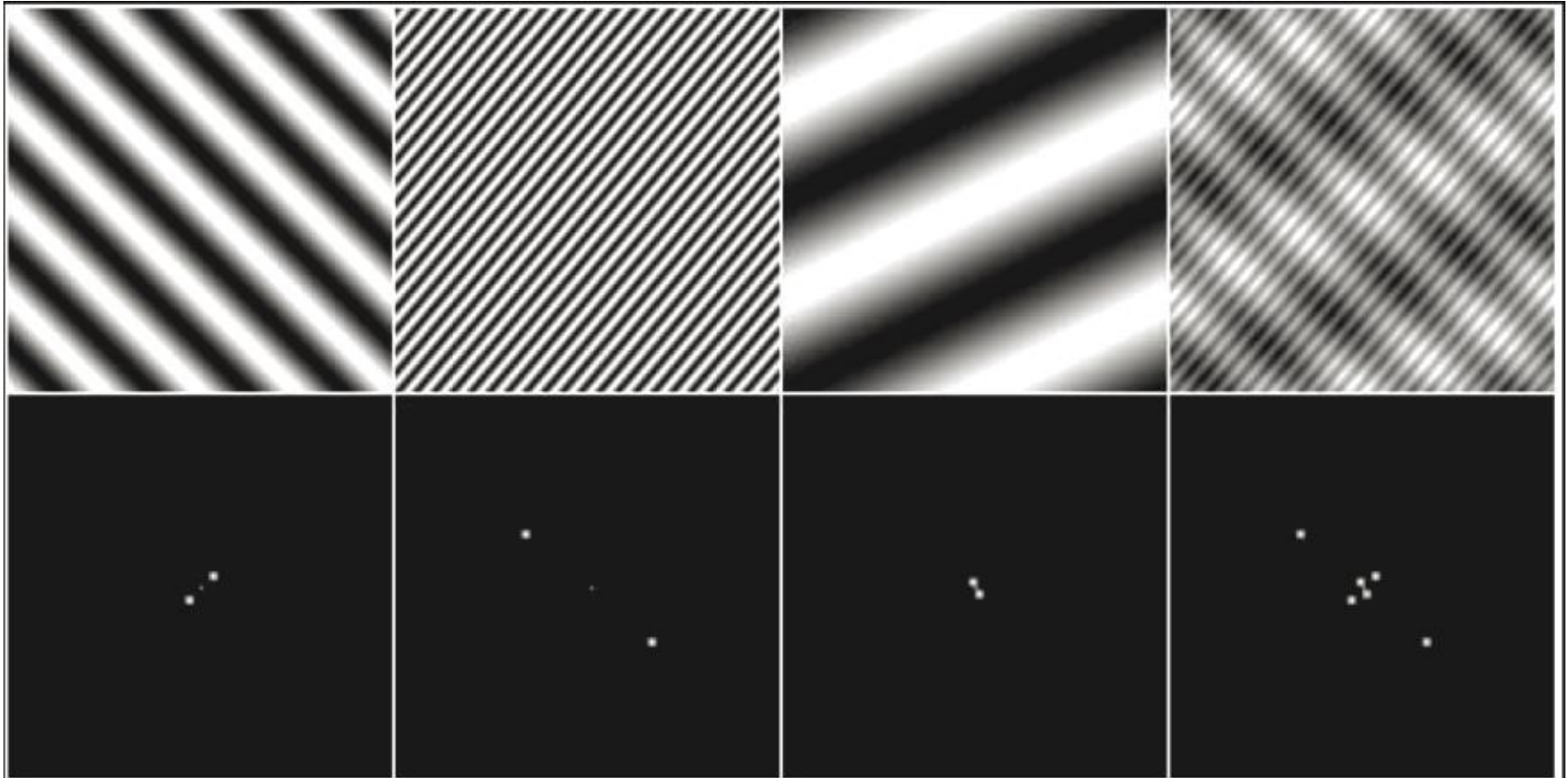
Espectro de Fourier Bidimensional (imagem)

Frequência Zero deslocada para o centro

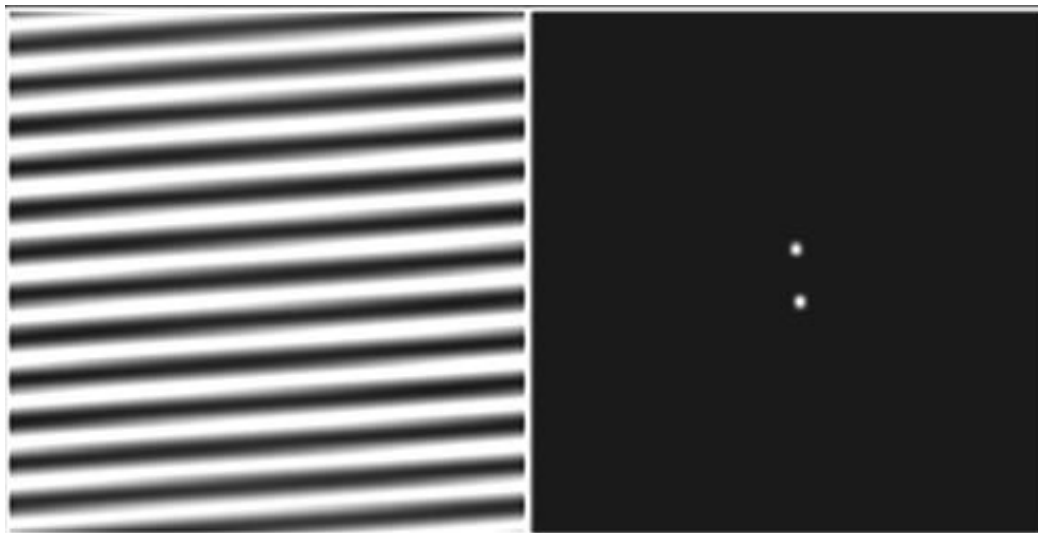


Espectro de Fourier Bidimensional (imagem)

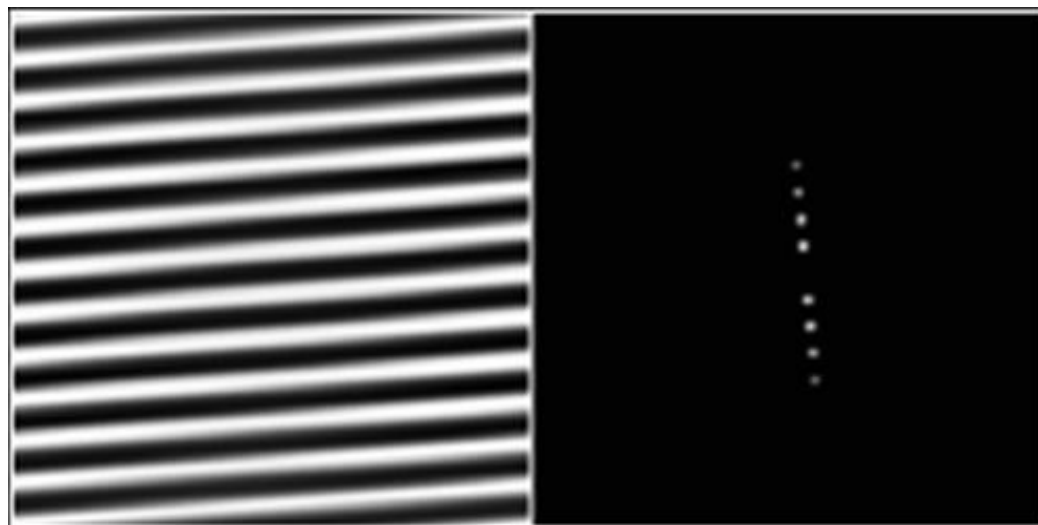
Frequência Zero deslocada para o centro



Exemplos de Texturas:

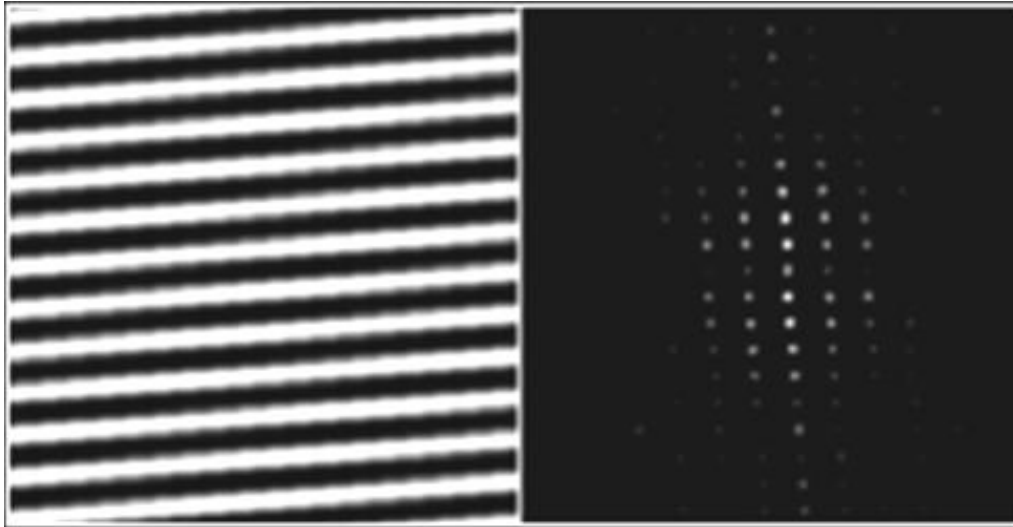


← Padrão Senoidal

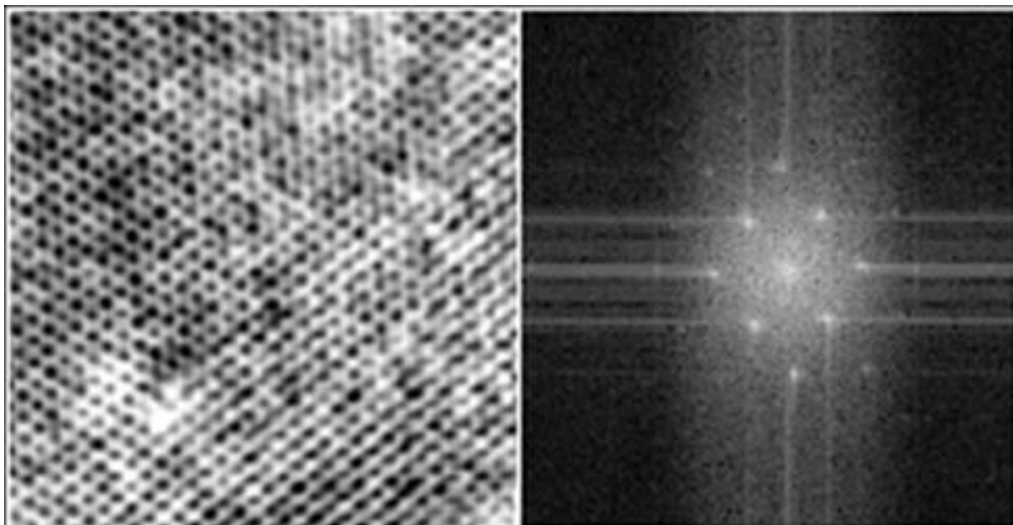


← Padrão Não Senoidal

Exemplos de Texturas:

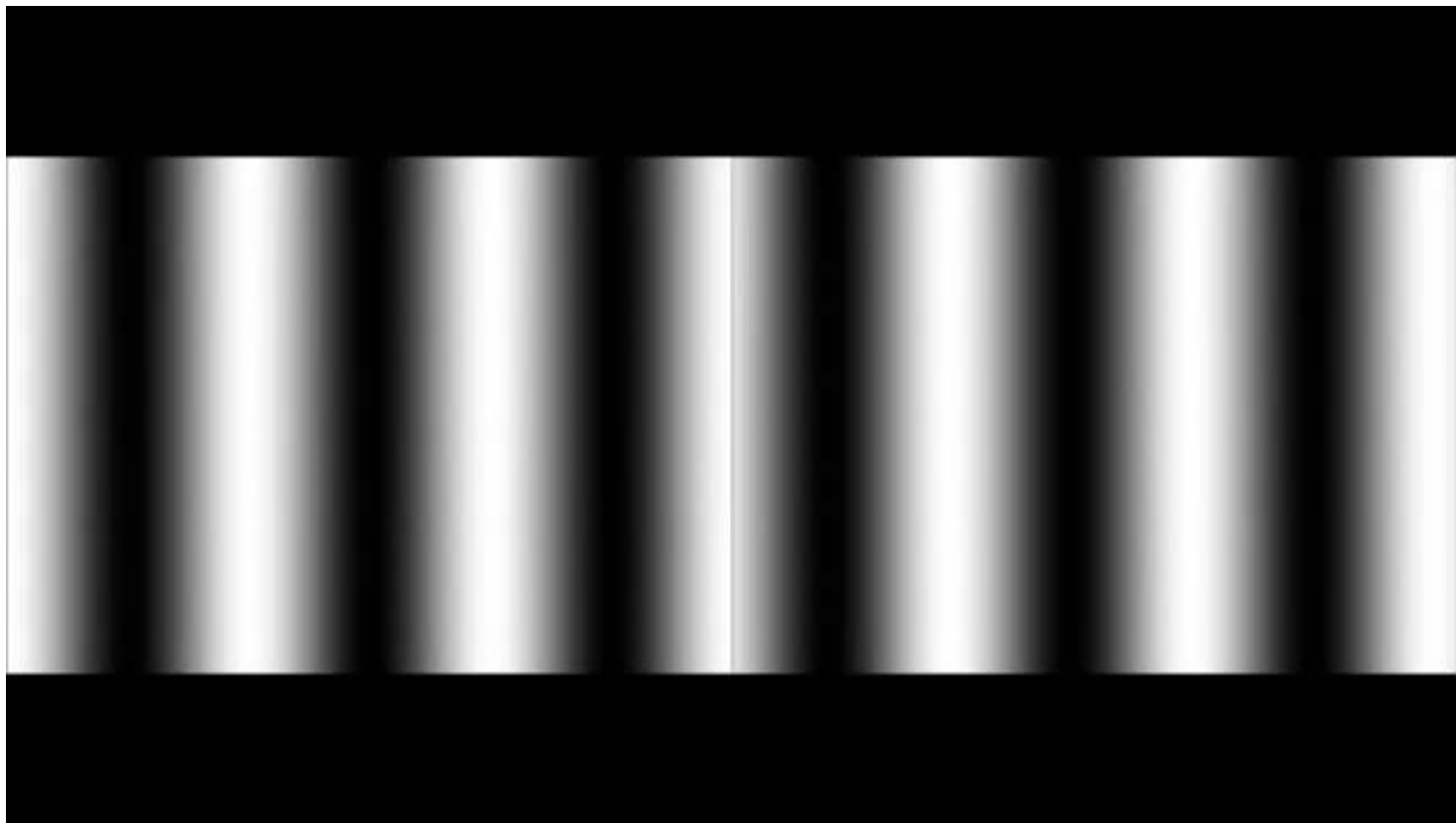


← Padrão Não Senoidal
com interferências em
outras direções



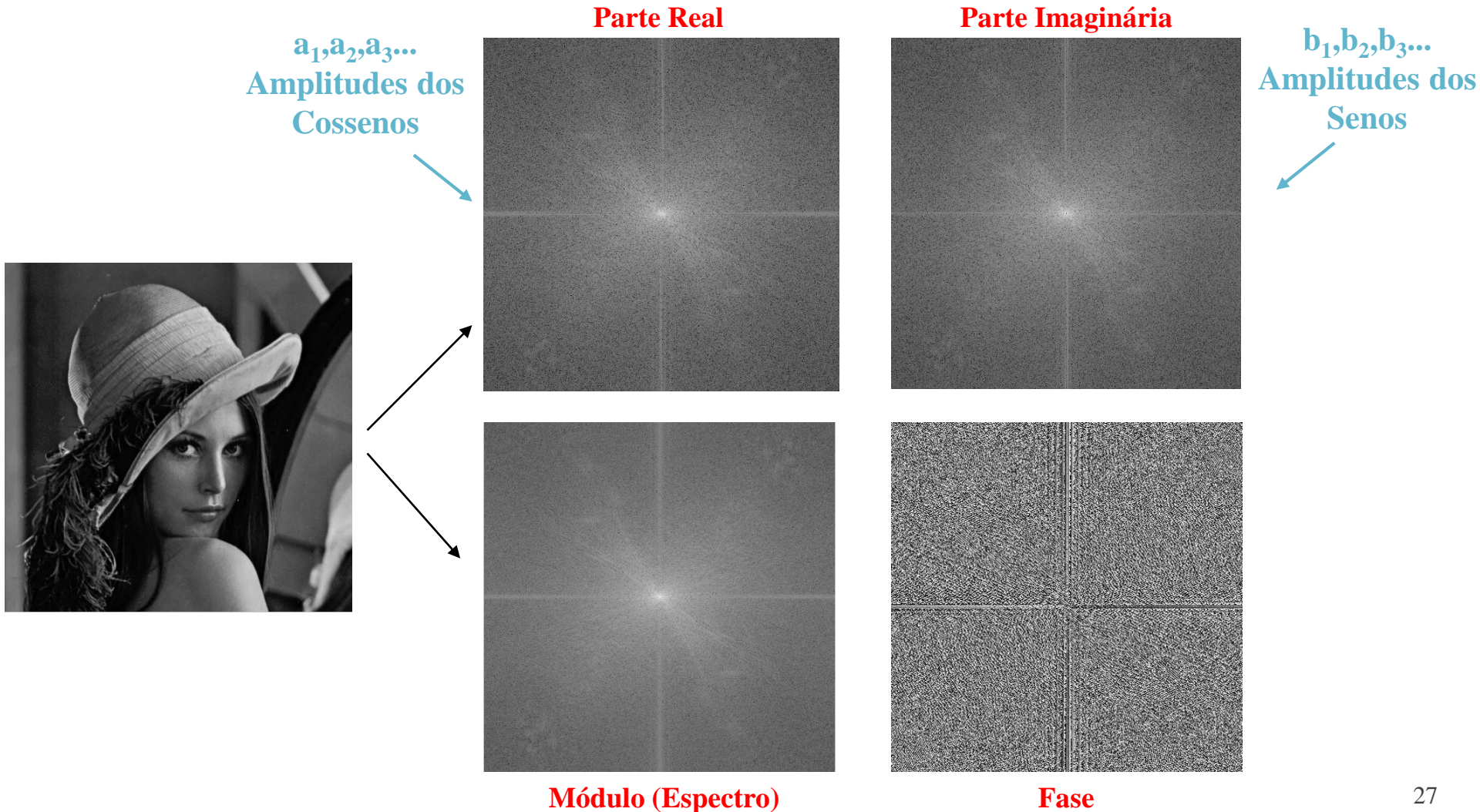
← Textura

Espectro de Fourier Bidimensional (Vídeo)

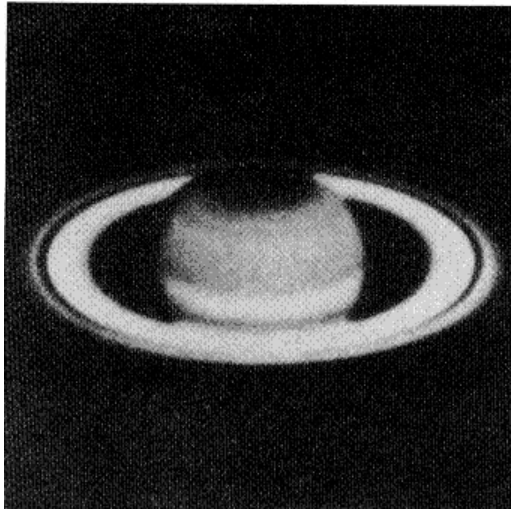


Visualização do espectro

Forma Retangular X Forma Polar



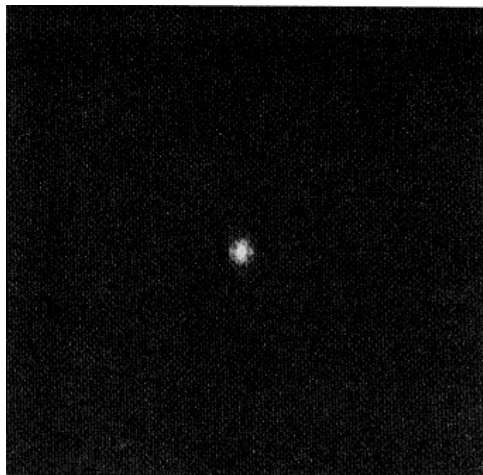
Visualização do espectro



A escala dinâmica dos espectros de Fourier mostrados como funções de Intensidades, são geralmente muito mais alta do que a capacidade de reprodução dos dispositivos.

Uma técnica útil é comprimir a escala através da exibição de uma função logaritmo.

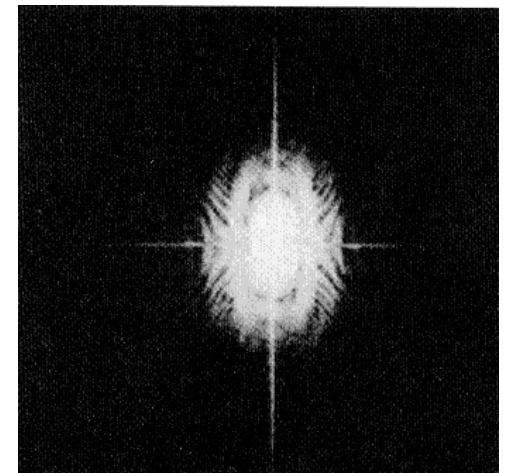
$$D(u, v) = c \log[1 + |F(u, v)|]$$



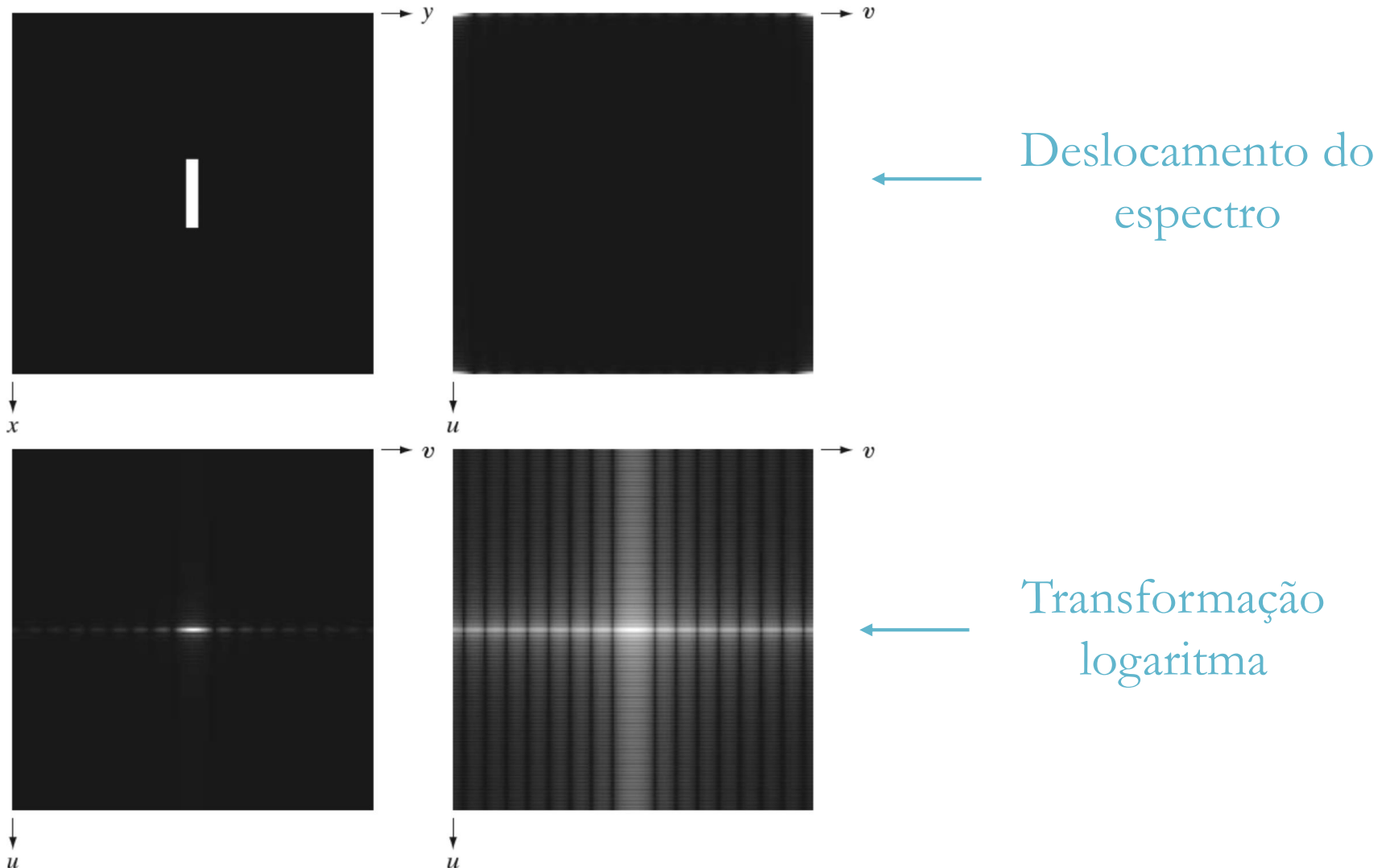
$$|F(u, v)|$$

[0 a $2,5 \times 10^6$]

[0 a 6,4]



Visualização do espectro



No MATLAB

```
clear all
close all
clc

f = imread('lena.tif');
imshow(f)

% FFT
F = fft2(double(f));
F = fftshift(F);

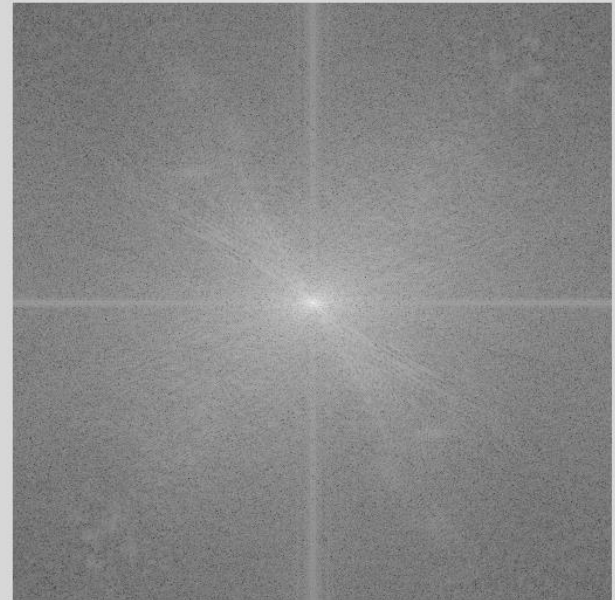
% Visualização do espectro
A = abs(F);
A = 35*log10(A+1);
A = uint8(A);
figure, imshow(A);
```

No MATLAB

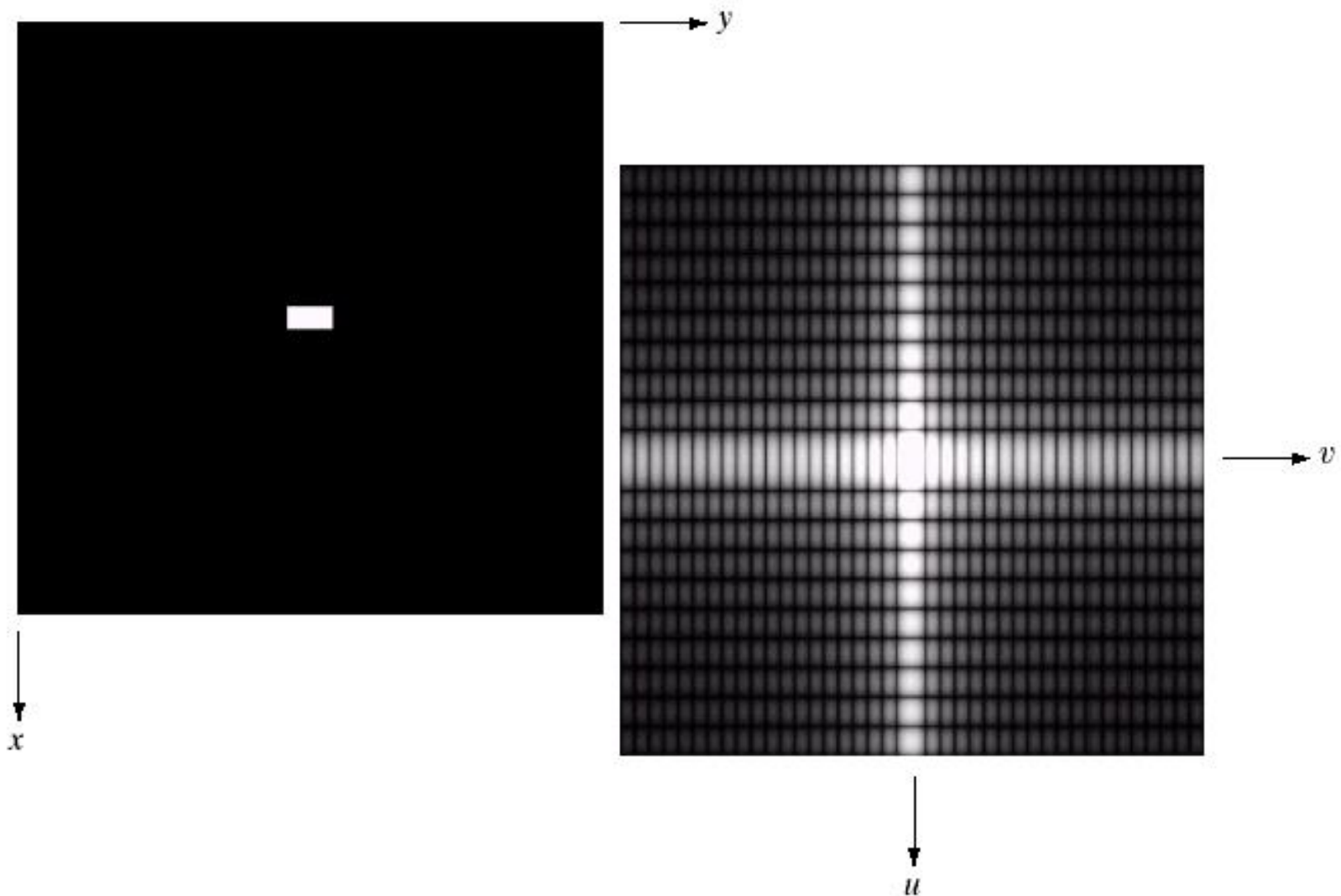
original



Espectro

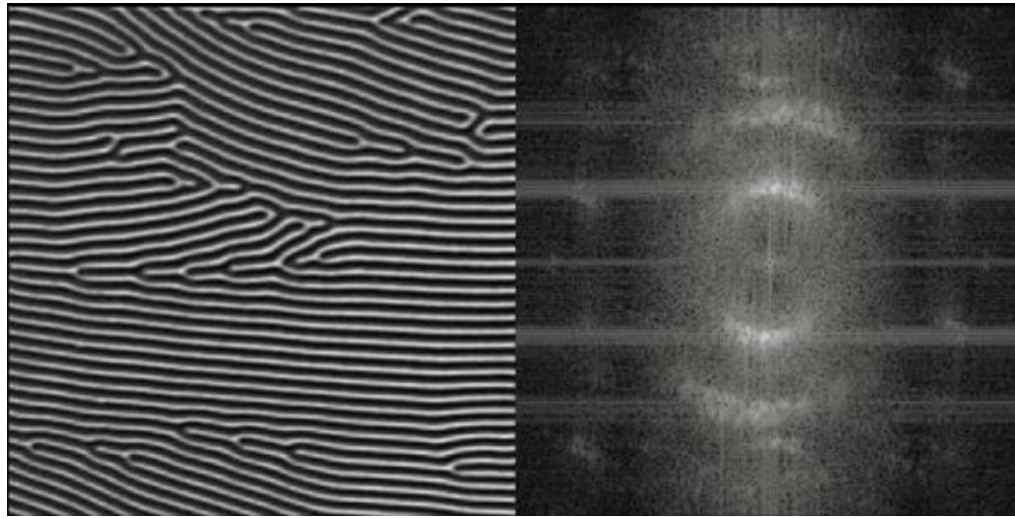


Espectro de uma imagem

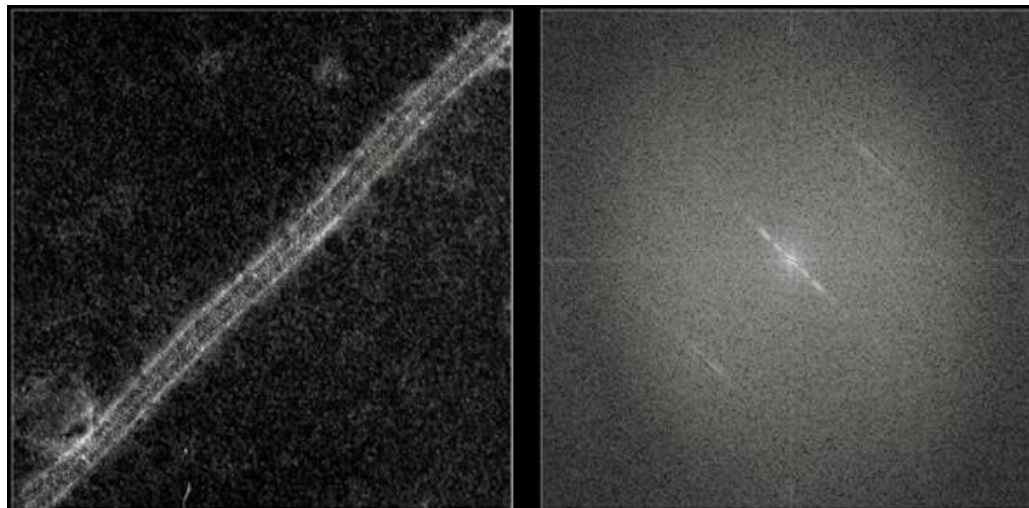


Exemplos:

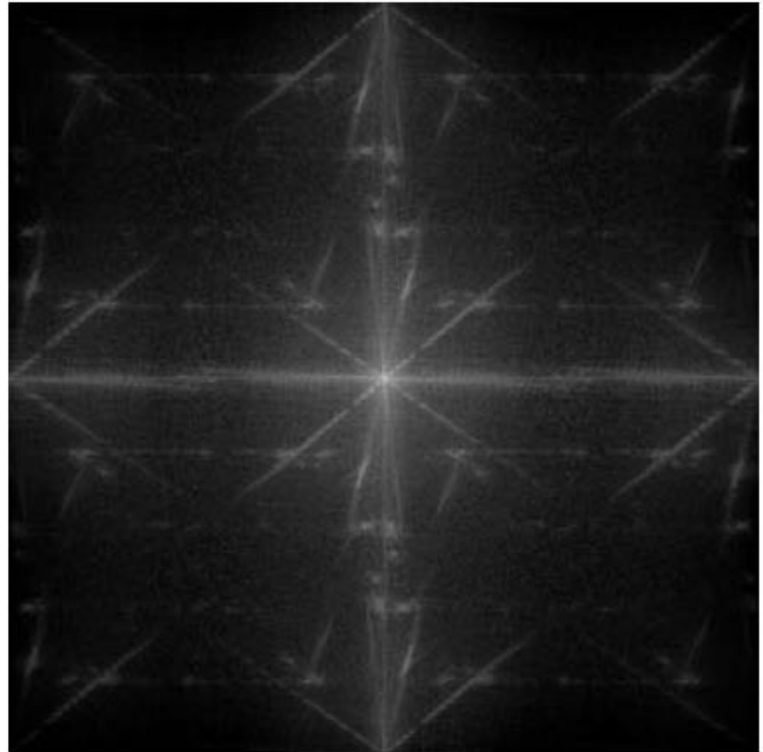
a)



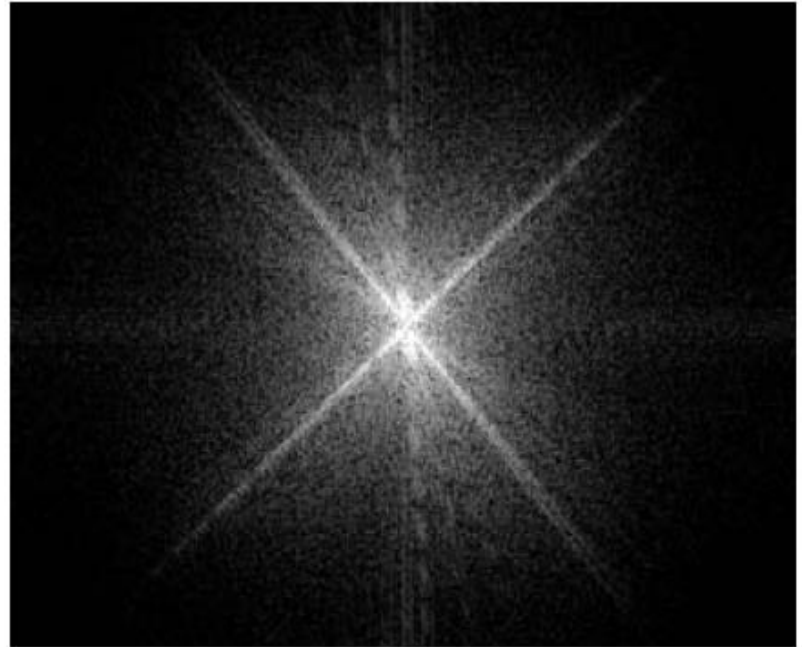
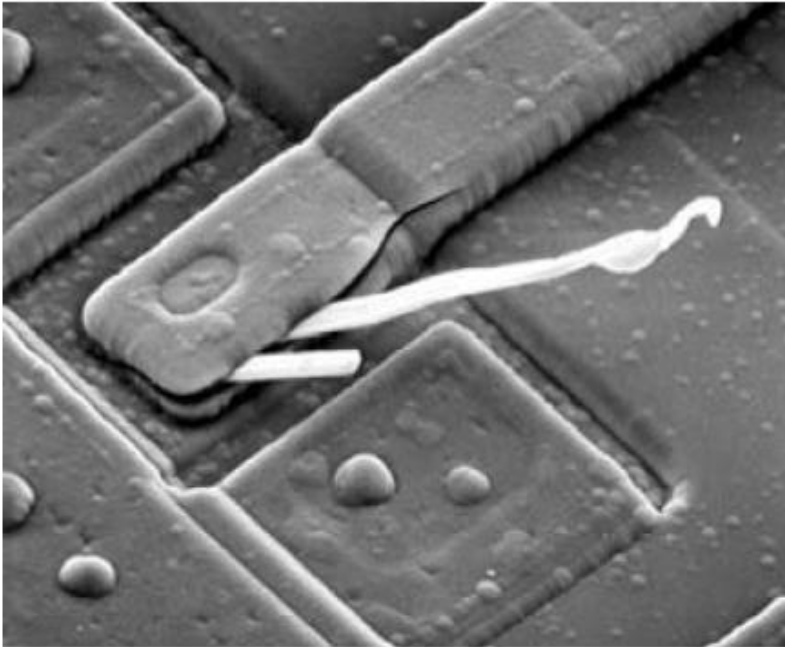
b)



Exemplos:

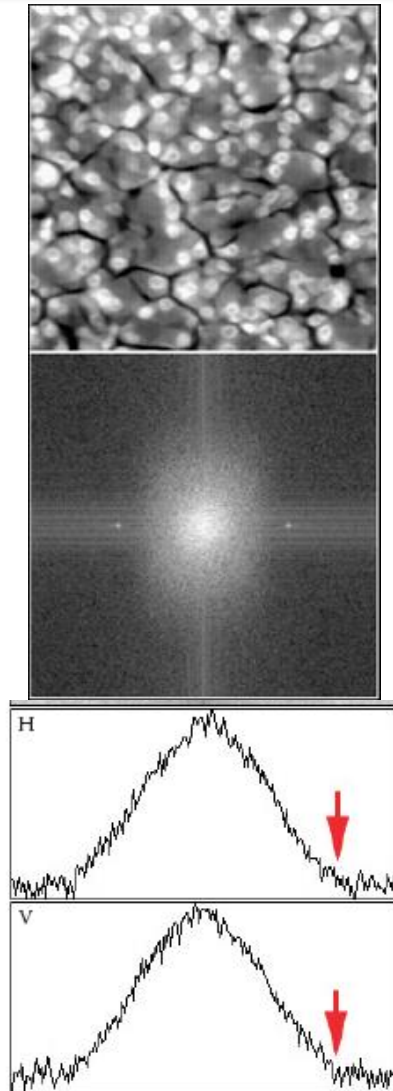


Exemplos:

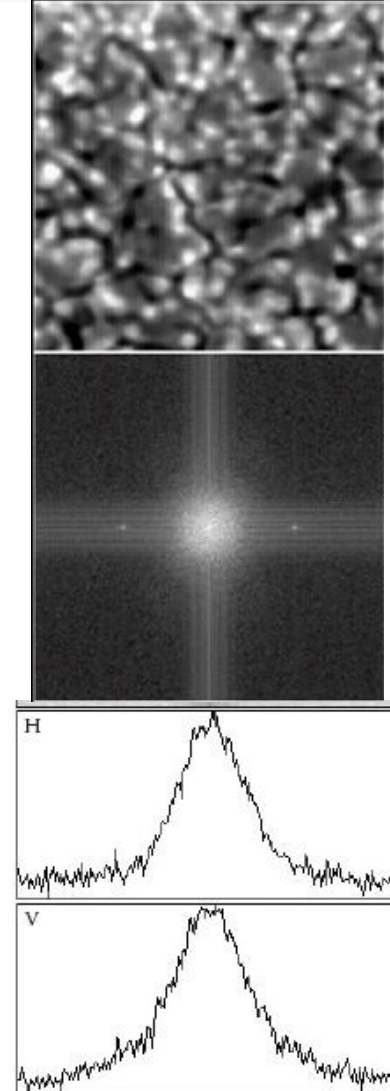


Exemplos:

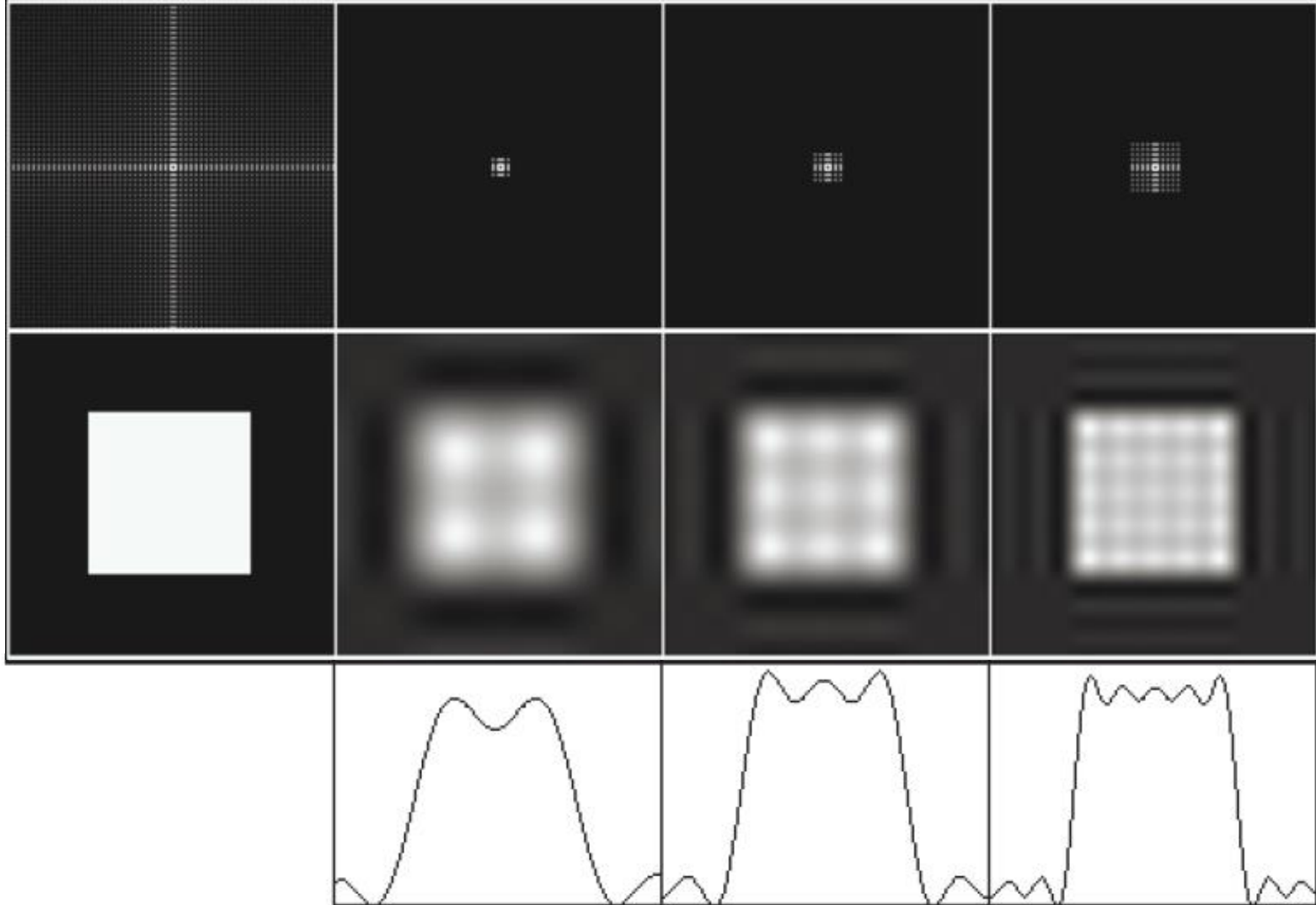
Alta resolução espacial: presença de componentes de alta frequência



Baixa resolução espacial: perda de componentes de alta frequência



Espectro Unidimensional e Bidimensional



Propriedades da DFT 2-D

3) Separabilidade

$$F(u, v) = \frac{1}{N} \sum_{x=0}^{N-1} \sum_{y=0}^{N-1} f(x, y) \exp[-j2\pi(\frac{ux + vy}{N})]$$

$$F(u, v) = \frac{1}{N} \sum_{x=0}^{N-1} \exp[-j2\pi ux / N] \sum_{y=0}^{N-1} f(x, y) \exp[-j2\pi vy / N]$$

$$f(x, y) = \frac{1}{N} \sum_{u=0}^{N-1} \sum_{v=0}^{N-1} F(u, v) \exp[j2\pi(\frac{ux + vy}{N})]$$

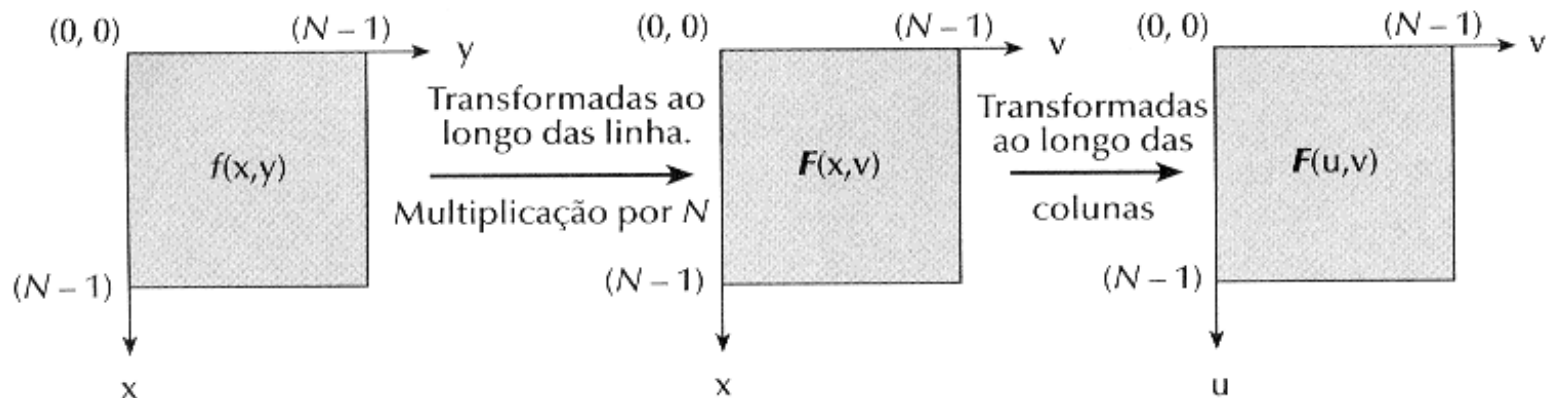
$$f(x, y) = \frac{1}{N} \sum_{u=0}^{N-1} \exp[j2\pi ux / N] \sum_{v=0}^{N-1} F(u, v) \exp[j2\pi vy / N]$$

Propriedades da DFT 2-D

A vantagem da **Separabilidade** é que a $F(u,v)$ e a $f(x,y)$ podem ser obtidas em dois passos por aplicações sucessivas da transformada de Fourier unidimensional:

$$F(u,v) = \frac{1}{N} \sum_{x=0}^{N-1} F(x,v) \exp[-j2\pi ux / N]$$

$$F(x,v) = N \left[\frac{1}{N} \sum_{y=0}^{N-1} f(x,y) \exp[-j2\pi vy / N] \right]$$



Propriedades da DFT 2-D

4) Rotação

Introduzindo as coordenadas polares:

$$x = r \cos \theta \quad y = r \sin \theta \quad u = w \cos \phi \quad v = w \sin \phi$$

$f(x, y)$ e $F(u, v)$ tornam-se : $f(r, \theta)$ e $F(w, \phi)$

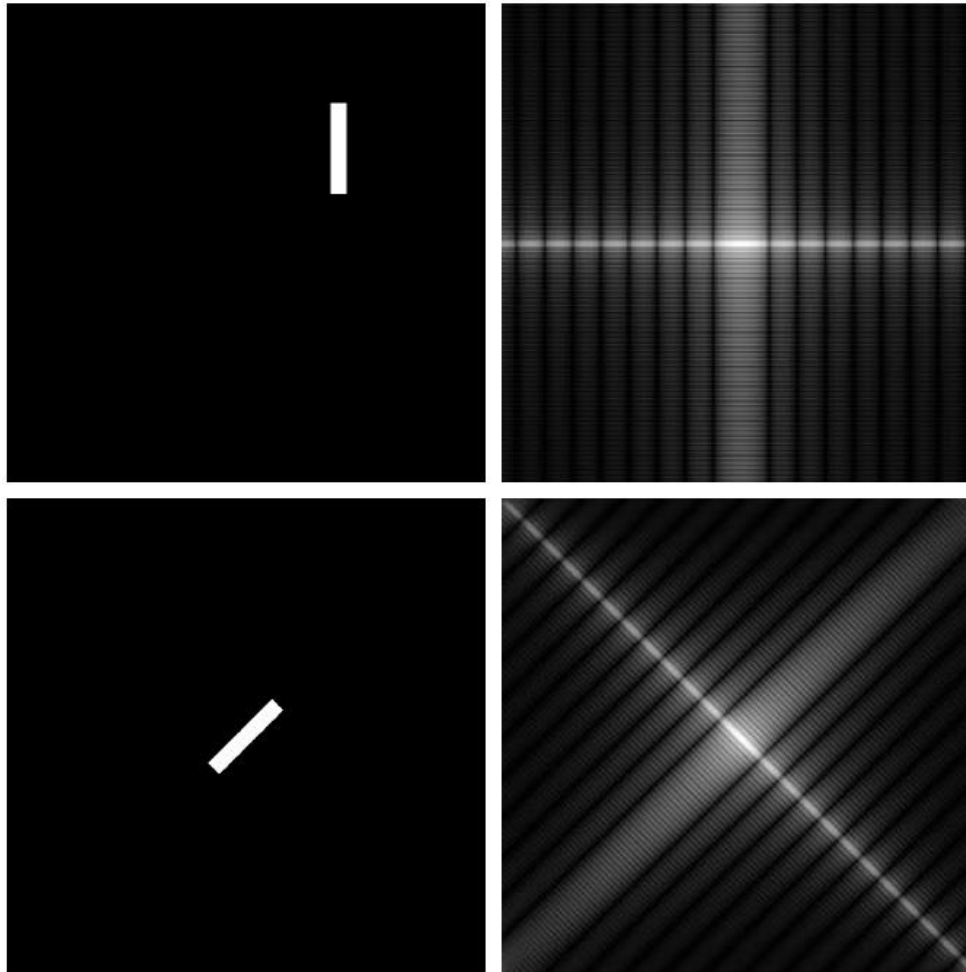
A substituição direta no par de Transformadas resulta:

$$f(r, \theta + \theta_0) \Leftrightarrow F(w, \phi + \theta_0)$$

Ou seja, a rotação de $f(x, y)$ de um ângulo θ_0 implicará em uma rotação de $F(u, v)$ deste mesmo ângulo.

Propriedades da DFT 2-D

4) Rotação



Propriedades da DFT 2-D

5) Distributividade

A Transformada de Fourier e sua Inversa **são Distributivas** com relação à Adição.

$$\mathfrak{F}\{f_1(x, y) + f_2(x, y)\} = \mathfrak{F}\{f_1(x, y)\} + \mathfrak{F}\{f_2(x, y)\}$$

A Transformada de Fourier e sua Inversa **Não são Distributivas** com relação à Multiplicação.

$$\mathfrak{F}\{f_1(x, y) \cdot f_2(x, y)\} \neq \mathfrak{F}\{f_1(x, y)\} \cdot \mathfrak{F}\{f_2(x, y)\}$$

Propriedades da DFT 2-D

6) Mudança de Escala:

Para dois escalares a e b :

$$af(x, y) \Leftrightarrow aF(u, v)$$

7) Valor Médio:

Substituindo-se $u = v = 0$ na equação da transformada 2-D:

$$F(0,0) = \sum_{x=0}^{N-1} \sum_{y=0}^{N-1} f(x, y)$$

Logo, o valor médio de $f(x,y)$ é:

$$\bar{f}(x, y) = \frac{1}{N} F(0,0)$$

No MATLAB

```
f = imread('lena.tif');  
  
imshow(f)  
title('original');  
  
[M,N] = size(f);  
soma = sum(f(:));  
media = soma/(M*N);  
  
% FFT  
F = fft2(double(f));  
ValorDC = F(1,1);
```

| Workspace | | | |
|-----------|--------------------------|------------------|----------|
| Name ▲ | Value | Min | Max |
| F | <512x512 complex double> | 8.7310 - 2.0087i | 18404084 |
| M | 512 | 512 | 512 |
| N | 512 | 512 | 512 |
| ValorDC | 18404084 | 18404084 | 18404084 |
| f | <512x512 uint8> | 0 | 228 |
| media | 70.2060 | 70.2060 | 70.2060 |
| soma | 18404084 | 18404084 | 18404084 |

No MATLAB

Editor - Fourier_Test.m Variables - F

F <512x512 complex double>

| | 252 | 253 | 254 | 255 | 256 | 257 | 258 | 259 | 260 | 261 | 262 |
|-----|-------------|-------------|-------------|---------------------------|---------------------------|---------------------------|---------------------------|---------------------------|-------------|-------------|-------------|
| 241 | 7.0222e... | -4.6990e... | -1.5898e... | 4.7043e+04 + 4.5196e+04i | -1.0865e+05 + 1.6992e+04i | 9.9498e+03 + 3.7192e+04i | -5.7298e+03 + 7.6331e+03i | -4.5927e+04 - 8.7695e+04i | 4.3913e... | 5.4059e... | 5.5404e... |
| 242 | -2.6146e... | 3.2200e... | 6.1804e... | -9.3030e+03 + 6.0172e+04i | -6.2860e+04 - 3.1217e+04i | 1.5864e+04 + 1.2244e+05i | 4.3808e+03 - 2.7632e+04i | -3.2526e+03 - 2.7110e+04i | -8.7874e... | 6.3182e... | 3.9156e... |
| 243 | 5.4585e... | -2.6800e... | 9.7722e... | 6.9837e+04 - 4.4182e+04i | -3.3716e+04 + 9.7907e+04i | -6.1506e+04 + 4.9040e+04i | 1.6649e+05 + 1.3256e+04i | -1.2349e+05 + 9.7661e+04i | 9.9969e... | -2.7693e... | 2.3335e... |
| 244 | 8.4746e... | 8.2216e... | -1.0247e... | 9.1451e+04 - 5.4524e+04i | -9.0171e+04 - 1.1491e+03i | 7.3890e+04 + 8.4533e+04i | -1.8855e+03 + 8.7493e+04i | -8.8385e+04 + 3.4033e+04i | -6.2312e... | 3.7367e... | 5.3612e... |
| 245 | 6.0838e... | 6.2956e... | -1.9439e... | 3.1416e+04 - 6.3166e+04i | -7.3296e+04 + 3.5284e+04i | 9.6437e+04 - 1.9804e+04i | -1.4756e+04 + 1.1042e+05i | -7.2945e+04 - 1.6855e+04i | 1.0659e... | -1.2483e... | 4.1667e... |
| 246 | 3.2505e... | -1.1689e... | 8.3204e... | -5.1690e+04 + 5.6431e+04i | 2.2340e+04 - 2.9495e+04i | 8.7077e+03 + 9.2136e+04i | 1.2687e+03 - 1.1139e+05i | -3.9152e+04 + 8.8200e+03i | 5.3381e... | 1.3926e... | 1.2428e... |
| 247 | -9.0148e... | 3.6092e... | -1.3624e... | 1.5645e+05 - 1.5462e+05i | -1.6982e+05 + 2.1784e+05i | 8.6055e+03 - 1.0845e+04i | 6.9410e+04 - 1.6365e+04i | 3.4237e+04 - 1.0715e+04i | 3.6128e... | 1.2772e... | 9.9861e... |
| 248 | -6.1911e... | -1.5519e... | -1.3746e... | 1.7586e+04 - 1.0349e+05i | 4.8112e+04 - 3.1655e+04i | 5.9298e+04 + 2.1318e+05i | -1.0523e+05 - 3.1033e+04i | 7.7272e+04 - 5.1989e+03i | -8.1886e... | 1.8022e... | 6.3171e... |
| 249 | 4.0274e... | -1.3483e... | -4.1280e... | 4.2900e+04 - 1.6177e+05i | 4.1911e+04 + 1.7119e+05i | 2.9228e+04 - 8.1039e+04i | 2.0184e+05 + 3.1504e+05i | -2.8899e+05 + 5.7701e+04i | -5.1793e... | 2.2197e... | -2.6523e... |
| 250 | -9.1127e... | 2.3712e... | -1.8833e... | 1.1235e+04 + 1.0427e+05i | -1.5357e+05 - 3.3534e+04i | 1.4937e+05 + 1.5867e+05i | -2.0131e+05 + 4.6607e+04i | -7.5591e+03 - 9.2198e+04i | -1.2567e... | 1.9806e... | -1.2958e... |
| 251 | -8.3721e... | -1.0202e... | 3.5255e... | 1.2064e+05 + 6.4058e+04i | -3.3198e+05 + 3.4171e+05i | -2.4514e+05 - 4.0553e+04i | 6.6585e+04 + 1.1701e+05i | -1.3113e+05 - 4.3766e+05i | -4.0901e... | 1.0688e... | 1.1892e... |
| 252 | 1.1099e... | -3.2271e... | 1.8626e... | 2.7136e+05 + 2.7341e+05i | 9.7286e+04 + 1.3117e+05i | -4.2132e+05 + 4.8793e+05i | -2.8675e+05 - 2.8937e+05i | 2.5611e+05 - 3.7721e+05i | -1.7207e... | 8.4845e... | 6.3170e... |
| 253 | 6.5424e... | 4.2296e... | -7.2159e... | 4.0764e+05 - 5.0272e+05i | 2.4898e+04 + 2.8557e+05i | 5.6560e+04 + 1.9778e+05i | 2.3218e+05 + 4.2285e+05i | -3.1649e+05 - 2.3930e+05i | 1.4231e... | -6.0309e... | 2.1798e... |
| 254 | 2.4768e... | 2.7172e... | 1.0928e... | -4.6077e+05 - 1.1300e+05i | -2.5942e+05 + 5.9045e+05i | 3.0976e+05 - 6.7362e+05i | 1.1361e+06 + 1.0196e+06i | -9.4659e+05 + 2.5136e+05i | -1.0735e... | 2.0703e... | -2.9959e... |
| 255 | -9.0376e... | -1.1981e... | -4.5006e... | 7.4166e+05 + 7.2424e+05i | -5.3074e+05 - 2.5889e+05i | -8.3591e+05 - 1.2394e+05i | 1.0407e+06 - 3.0601e+05i | -9.9303e+05 + 6.2590e+05i | 6.5818e... | -8.5012e... | -7.6471e... |
| 256 | -6.7380e... | 9.1693e... | -1.0107e... | -1.2544e+06 - 1.0767e+06i | -6.8463e+05 - 2.2557e+06i | 1.6129e+05 - 1.5019e+06i | -1.0679e+05 - 1.3451e+06i | -2.4187e+05 - 2.8597e+05i | 5.1318e... | 1.9199e... | -7.6424e... |
| 257 | 9.0935e... | 1.0152e... | 6.6594e... | 2.0755e+06 + 6.0474e+05i | -9.7442e+05 - 2.9499e+06i | 1.8404e+07 + 0.0000e+00i | -9.7442e+05 + 2.9499e+06i | 2.0755e+06 - 6.0474e+05i | 6.6594e... | 1.0152e... | 9.0935e... |
| 258 | -7.6424e... | 1.9199e... | 5.1318e... | -2.4187e+05 + 2.8597e+05i | -1.0679e+05 + 1.3451e+06i | 1.6129e+05 - 1.5019e+06i | -6.8463e+05 + 2.2557e+06i | -1.2544e+06 + 1.0767e+06i | -1.0107e... | 9.1693e... | -6.7380e... |
| 259 | -7.6471e... | -8.5012e... | 6.5818e... | -9.9303e+05 - 6.2590e+05i | 1.0407e+06 + 3.0601e+05i | -8.3591e+05 + 1.2394e+05i | -5.3074e+05 - 2.5889e+05i | 7.4166e+05 - 7.2424e+05i | -4.5006e... | -1.1981e... | -9.0376e... |
| 260 | -2.9959e... | 2.0703e... | -1.0735e... | -9.4659e+05 - 2.5136e+05i | 1.1361e+06 - 1.0196e+06i | 3.0976e+05 + 6.7362e+05i | -2.5942e+05 - 5.9045e+05i | -4.6077e+05 + 1.1300e+05i | 1.0928e... | 2.7172e... | 2.4768e... |
| 261 | 2.1798e... | -6.0309e... | 1.4231e... | -3.1649e+05 + 2.3930e+05i | 2.3218e+05 - 4.2285e+05i | 5.6560e+04 - 1.9778e+05i | 2.4898e+04 - 2.8557e+05i | 4.0764e+05 + 5.0272e+05i | -7.2159e... | 4.2296e... | 6.5424e... |
| 262 | 3.6410e... | 8.4845e... | -1.7207e... | 2.5611e+05 + 3.7721e+05i | -2.8675e+05 + 2.8937e+05i | -4.2132e+05 - 4.8793e+05i | 9.7286e+04 - 1.3117e+05i | 2.7136e+05 - 2.7341e+05i | 1.8626e... | -3.2271e... | 1.1099e... |
| 263 | 1.1892e... | 1.0688e... | -4.0901e... | -1.3113e+05 + 4.3766e+05i | 6.6585e+04 - 1.1701e+05i | -2.4514e+05 + 4.0553e+04i | -3.3198e+05 - 3.4171e+05i | 1.2064e+05 - 6.4058e+04i | 3.5255e... | -1.0202e... | -8.3721e... |
| 264 | -1.2958e... | 1.9806e... | -1.2567e... | -7.5591e+03 + 9.2198e+04i | -2.0131e+05 - 4.6607e+04i | 1.4937e+05 - 1.5867e+05i | -1.5357e+05 + 3.3534e+04i | 1.1235e+04 - 1.0427e+05i | -1.8833e... | 2.3712e... | -9.1127e... |
| 265 | -2.6523e... | 2.2197e... | -5.1793e... | -2.8899e+05 - 5.7701e+04i | 2.0184e+05 - 3.1504e+05i | 2.9228e+04 + 8.1039e+04i | 4.1911e+04 - 1.7119e+05i | 4.2900e+04 + 1.6177e+05i | -4.1280e... | -1.3483e... | 4.0274e... |
| 266 | 6.3171e... | 1.8022e... | -8.1886e... | 7.7272e+04 + 5.1989e+03i | -1.0523e+05 + 3.1033e+04i | 5.9298e+04 - 2.1318e+05i | 4.8112e+04 + 3.1655e+04i | 1.7586e+04 + 1.0349e+05i | -1.3746e... | -1.5519e... | -6.1911e... |
| 267 | 9.9861e... | 1.2772e... | 3.6128e... | 3.4237e+04 + 1.0715e+04i | 6.9410e+04 + 1.6365e+04i | 8.6055e+03 + 1.0845e+04i | -1.6982e+05 - 2.1784e+05i | 1.5645e+05 + 1.5462e+05i | -1.3624e... | 3.6092e... | -9.0148e... |
| 268 | 1.2428e... | 1.3926e... | 5.3381e... | -3.9152e+04 - 8.8200e+03i | 1.2687e+03 + 1.1139e+05i | 8.7077e+03 - 9.2136e+04i | 2.2340e+04 + 2.9495e+04i | -5.1690e+04 - 5.6431e+04i | 8.3204e... | -1.1689e... | 3.2505e... |
| 269 | 4.1667e... | -1.2483e... | 1.0659e... | -7.2945e+04 + 1.6855e+04i | -1.4756e+04 + 1.1042e+05i | 9.6437e+04 + 1.9804e+04i | -7.3296e+04 - 3.5284e+04i | 3.1416e+04 + 6.3166e+04i | -1.9439e... | 6.2956e... | 6.0838e... |
| 270 | 5.3612e... | 3.7367e... | -6.2312e... | -8.8385e+04 - 3.4033e+04i | -1.8855e+03 - 8.7493e+04i | 7.3890e+04 - 8.4533e+04i | -9.0171e+04 + 1.1491e+03i | 9.1451e+04 + 5.4524e+04i | -1.0247e... | 8.2216e... | 8.4746e... |
| 271 | 2.3335e... | -2.7693e... | 9.9969e... | -1.2349e+05 - 9.7661e+04i | 1.6649e+05 + 1.3256e+04i | -6.1506e+04 - 4.9040e+04i | -3.3716e+04 - 9.7907e+04i | 6.9837e+04 + 4.4182e+04i | 9.7722e... | -2.6800e... | 5.4585e... |
| 272 | 3.9156e... | 6.3182e... | -8.7874e... | -3.2526e+03 + 2.7110e+04i | 4.3808e+03 + 2.7632e+04i | 1.5864e+04 - 1.2244e+05i | -6.2860e+04 + 3.1217e+04i | -9.3030e+03 - 6.0172e+04i | 6.1804e... | 3.2200e... | -2.6146e... |
| 273 | 5.5404e... | 5.4059e... | 4.3913e... | -4.5927e+04 + 8.7695e+04i | -5.7298e+03 - 7.6331e+03i | 9.9498e+03 - 3.7192e+04i | -1.0865e+05 - 1.6992e+04i | 4.7043e+04 - 4.5196e+04i | -1.5898e... | -4.6990e... | 7.0222e... |

Soma de todos os valores de pixel da imagem = Valor Médio * (M x N)

No MATLAB

Editor - Fourier_Teste.m Variables - F

F <512x512 complex double>

| | 252 | 253 | 254 | 255 | 256 | 257 | 258 | 259 | 260 | 261 | 262 |
|-----|-------------|-------------|-------------|---------------------------|---------------------------|---------------------------|---------------------------|---------------------------|-------------|-------------|-------------|
| 241 | 7.0222e... | -4.6990e... | -1.5898e... | 4.7043e+04 + 4.5196e+04i | -1.0865e+05 + 1.6992e+04i | 9.9498e+03 + 3.7192e+04i | -5.7298e+03 + 7.6331e+03i | -4.5927e+04 - 8.7695e+04i | 4.3913e... | 5.4059e... | 5.5404e... |
| 242 | -2.6146e... | 3.2200e... | 6.1804e... | -9.3030e+03 + 6.0172e+04i | -6.2860e+04 - 3.1217e+04i | 1.5864e+04 + 1.2244e+05i | 4.3808e+03 - 2.7632e+04i | -3.2526e+03 - 2.7110e+04i | -8.7874e... | 6.3182e... | 3.9156e... |
| 243 | 5.4585e... | -2.6800e... | 9.7722e... | 6.9837e+04 - 4.4182e+04i | -3.3716e+04 + 9.7907e+04i | -6.1506e+04 + 4.9040e+04i | 1.6649e+05 + 1.3256e+04i | -1.2349e+05 + 9.7661e+04i | 9.9969e... | -2.7693e... | 2.3335e... |
| 244 | 8.4746e... | 8.2216e... | -1.0247e... | 9.1451e+04 - 5.4524e+04i | -9.0171e+04 - 1.1491e+03i | 7.3890e+04 + 8.4533e+04i | -1.8855e+03 + 8.7493e+04i | -8.8385e+04 + 3.4033e+04i | -6.2312e... | 3.7367e... | 5.3612e... |
| 245 | 6.0838e... | 6.2956e... | -1.9439e... | 3.1416e+04 - 6.3166e+04i | -7.3296e+04 + 3.5284e+04i | 9.6437e+04 - 1.9804e+04i | -1.4756e+04 + 1.1042e+05i | -7.2945e+04 - 1.6855e+04i | 1.0659e... | -1.2483e... | 4.1667e... |
| 246 | 3.2505e... | -1.1689e... | 8.3204e... | -5.1690e+04 + 5.6431e+04i | 2.2340e+04 - 2.9495e+04i | 8.7077e+03 + 9.2136e+04i | 1.2687e+03 - 1.1139e+05i | -3.9152e+04 + 8.8200e+03i | 5.3381e... | 1.3926e... | 1.2428e... |
| 247 | -9.0148e... | 3.6092e... | -1.3624e... | 1.5645e+05 - 1.5462e+05i | -1.6982e+05 + 2.1784e+05i | 8.6055e+03 - 1.0845e+04i | 6.9410e+04 - 1.6365e+04i | 3.4237e+04 - 1.0715e+04i | 3.6128e... | 1.2772e... | 9.9861e... |
| 248 | -6.1911e... | -1.5519e... | -1.3746e... | 1.7586e+04 - 1.0349e+05i | 4.8112e+04 - 3.1655e+04i | 5.9298e+04 + 2.1318e+05i | -1.0523e+05 - 3.1033e+04i | 7.7272e+04 - 5.1989e+03i | -8.1886e... | 1.8022e... | 6.3171e... |
| 249 | 4.0274e... | -1.3483e... | -4.1280e... | 4.2900e+04 - 1.6177e+05i | 4.1911e+04 + 1.7119e+05i | 2.9228e+04 - 8.1039e+04i | 2.0184e+05 + 3.1504e+05i | -2.8899e+05 + 5.7701e+04i | -5.1793e... | 2.2197e... | -2.6523e... |
| 250 | -9.1127e... | 2.3712e... | -1.8833e... | 1.1235e+04 + 1.0427e+05i | -1.5357e+05 - 3.3534e+04i | 1.4937e+05 + 1.5867e+05i | -2.0131e+05 + 4.6607e+04i | -7.5591e+03 - 9.2198e+04i | -1.2567e... | 1.9806e... | -1.2958e... |
| 251 | -8.3721e... | -1.0202e... | 3.5255e... | 1.2064e+05 + 6.4058e+04i | -3.3198e+05 + 3.4171e+05i | -2.4514e+05 - 4.0553e+04i | 6.6585e+04 + 1.1701e+05i | -1.3113e+05 - 4.3766e+05i | -4.0901e... | 1.0688e... | 1.1892e... |
| 252 | 1.1099e... | -3.2271e... | 1.8626e... | 2.7136e+05 + 2.7341e+05i | 9.7286e+04 + 1.3117e+05i | -4.2132e+05 + 4.8793e+05i | -2.8675e+05 - 2.8937e+05i | 2.5611e+05 - 3.7721e+05i | -1.7207e... | 8.4845e... | 3.6410e... |
| 253 | 6.5424e... | 4.2296e... | -7.2159e... | 4.0764e+05 - 5.0272e+05i | 2.4898e+04 + 2.8557e+05i | 5.6560e+04 + 1.9778e+05i | 2.3218e+05 + 4.2285e+05i | -3.1649e+05 - 2.3930e+05i | 1.4231e... | -6.0309e... | 2.1798e... |
| 254 | 2.4768e... | 2.7172e... | 1.0928e... | -4.6077e+05 - 1.1300e+05i | -2.5942e+05 + 5.9045e+05i | 3.0976e+05 - 6.7362e+05i | 1.1361e+06 + 1.0196e+06i | -9.4659e+05 + 2.5136e+05i | -1.0735e... | 2.0703e... | -2.9959e... |
| 255 | -9.0376e... | -1.1981e... | -4.5006e... | 7.4166e+05 + 7.2424e+05i | -5.3074e+05 - 2.5889e+05i | -8.3591e+05 - 1.2394e+05i | 1.0407e+06 - 3.0601e+05i | -9.9303e+05 + 6.2590e+05i | 6.5818e... | -8.5012e... | -7.6471e... |
| 256 | -6.7380e... | 9.1693e... | -1.0107e... | -1.2544e+06 - 1.0767e+06i | -6.8463e+05 - 2.2557e+06i | 1.6129e+05 + 1.5019e+06i | -1.0679e+05 - 1.3451e+06i | -2.4187e+05 - 2.8597e+05i | 5.1318e... | 1.9199e... | -7.6424e... |
| 257 | 9.0935e... | 1.0152e... | 6.6594e... | 2.0755e+06 + 6.0474e+05i | -9.7442e+05 - 2.9499e+06i | 1.8404e+07 + 0.0000e+00i | -9.7442e+05 + 2.9499e+06i | 2.0755e+06 - 6.0474e+05i | 6.6594e... | 1.0152e... | 9.0935e... |
| 258 | -7.6424e... | 1.9199e... | 5.1318e... | -2.4187e+05 + 2.8597e+05i | -1.0679e+05 - 1.3451e+06i | 1.6129e+05 - 1.5019e+06i | -6.8463e+05 - 2.2557e+06i | -1.2544e+06 + 1.0767e+06i | -1.0107e... | 9.1693e... | -6.7380e... |
| 259 | -7.6471e... | -8.5012e... | 6.5818e... | -9.9303e+05 - 6.2590e+05i | 1.0407e+06 + 3.0601e+05i | -8.3591e+05 + 1.2394e+05i | -5.3074e+05 + 2.5889e+05i | 7.4166e+05 - 7.2424e+05i | -4.5006e... | -1.1981e... | -9.0376e... |
| 260 | -2.9959e... | 2.0703e... | -1.0735e... | -9.4659e+05 - 2.5136e+05i | 1.1361e+06 - 1.0196e+06i | 3.0976e+05 + 6.7362e+05i | -2.5942e+05 - 5.9045e+05i | -4.6077e+05 + 1.1300e+05i | 1.0928e... | 2.7172e... | 2.4768e... |
| 261 | 2.1798e... | -6.0309e... | 1.4231e... | -3.1649e+05 + 2.3930e+05i | 2.3218e+05 - 4.2285e+05i | 5.6560e+04 - 1.9778e+05i | 2.4898e+04 - 2.8557e+05i | 4.0764e+05 + 5.0272e+05i | -7.2159e... | 4.2296e... | 6.5424e... |
| 262 | 3.6410e... | 8.4845e... | -1.7207e... | 2.5611e+05 + 3.7721e+05i | -2.8675e+05 + 2.8937e+05i | -4.2132e+05 - 4.8793e+05i | 9.7286e+04 - 1.3117e+05i | 2.7136e+05 - 2.7341e+05i | 1.8626e... | -3.2271e... | 1.1099e... |
| 263 | 1.1892e... | 1.0688e... | -4.0901e... | -1.3113e+05 + 4.3766e+05i | 6.6585e+04 - 1.1701e+05i | -2.4514e+05 + 4.0553e+04i | -3.3198e+05 - 3.4171e+05i | 1.2064e+05 - 6.4058e+04i | 3.5255e... | -1.0202e... | -8.3721e... |
| 264 | -1.2958e... | 1.9806e... | -1.2567e... | -7.5591e+03 + 9.2198e+04i | -2.0131e+05 - 4.6607e+04i | 1.4937e+05 - 1.5867e+05i | -1.5357e+05 + 3.3534e+04i | 1.1235e+04 - 1.0427e+05i | -1.8833e... | 2.3712e... | -9.1127e... |
| 265 | -2.6523e... | 2.2197e... | -5.1793e... | -2.8899e+05 - 5.7701e+04i | 2.0184e+05 - 3.1504e+05i | 2.9228e+04 + 8.1039e+04i | 4.1911e+04 - 1.7119e+05i | 4.2900e+04 + 1.6177e+05i | -4.1280e... | -1.3483e... | 4.0274e... |
| 266 | 6.3171e... | 1.8022e... | -8.1886e... | 7.7272e+04 + 5.1989e+03i | -1.0523e+05 + 3.1033e+04i | 5.9298e+04 - 2.1318e+05i | 4.8112e+04 + 3.1655e+04i | 1.7586e+04 + 1.0349e+05i | -1.3746e... | -1.5519e... | -6.1911e... |
| 267 | 9.9861e... | 1.2772e... | 3.6128e... | 3.4237e+04 + 1.0715e+04i | 6.9410e+04 + 1.6365e+04i | 8.6055e+03 + 1.0845e+04i | -1.6982e+05 - 2.1784e+05i | 1.5645e+05 + 1.5462e+05i | -1.3624e... | 3.6092e... | -9.0148e... |
| 268 | 1.2428e... | 1.3926e... | 5.3381e... | -3.9152e+04 - 8.8200e+03i | 1.2687e+03 + 1.1139e+05i | 8.7077e+03 + 9.2136e+04i | 2.2340e+04 - 2.9495e+04i | -5.1690e+04 - 5.6431e+04i | 8.3204e... | -1.1689e... | 3.2505e... |
| 269 | 4.1667e... | -1.2483e... | 1.0659e... | -7.2945e+04 + 1.6855e+04i | -1.4756e+04 - 1.1042e+05i | 9.6437e+04 + 1.9804e+04i | -7.3296e+04 - 3.5284e+04i | 3.1416e+04 + 6.3166e+04i | -1.9439e... | 6.2956e... | 6.0838e... |
| 270 | 5.3612e... | 3.7367e... | -6.2312e... | -8.8385e+04 - 3.4033e+04i | -1.8855e+03 - 8.7493e+04i | 7.3890e+04 - 8.4533e+04i | -9.0171e+04 + 1.1491e+03i | 9.1451e+04 + 5.4524e+04i | -1.0247e... | 8.2216e... | 8.4746e... |
| 271 | 2.3335e... | -2.7693e... | 9.9969e... | -1.2349e+05 - 9.7661e+04i | 1.6649e+05 - 1.3256e+04i | -6.1506e+04 - 4.9040e+04i | -3.3716e+04 - 9.7907e+04i | 6.9837e+04 + 4.4182e+04i | 9.7722e... | -2.6800e... | 5.4585e... |
| 272 | 3.9156e... | 6.3182e... | -8.7874e... | -3.2526e+03 + 2.7110e+04i | 4.3808e+03 + 2.7632e+04i | 1.5864e+04 - 1.2244e+05i | -6.2860e+04 + 3.1217e+04i | -9.3030e+03 - 6.0172e+04i | 6.1804e... | 3.2200e... | -2.6146e... |
| 273 | 5.5404e... | 5.4059e... | 4.3913e... | -4.5927e+04 + 8.7695e+04i | -5.7298e+03 - 7.6331e+03i | 9.9498e+03 - 3.7192e+04i | -1.0865e+05 - 1.6992e+04i | 4.7043e+04 - 4.5196e+04i | -1.5898e... | -4.6990e... | 7.0222e... |

Complexos Conjugados

Propriedades da DFT 2-D

8) Convolução

Teorema da Convolução.

$$f(x, y) * g(x, y) \Leftrightarrow F(u, v)G(u, v)$$

$$f(x, y)g(x, y) \Leftrightarrow F(u, v) * G(u, v)$$

Convolução
*no domínio do
tempo/espço*



Multiplicação
*no domínio da
frequência*

Multiplicação
*no domínio do
tempo/espço*



Convolução
*no domínio da
frequência*

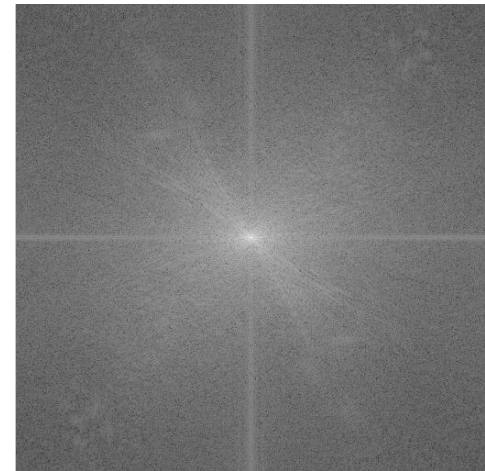
Magnitude x Fase

O que é mais importante?



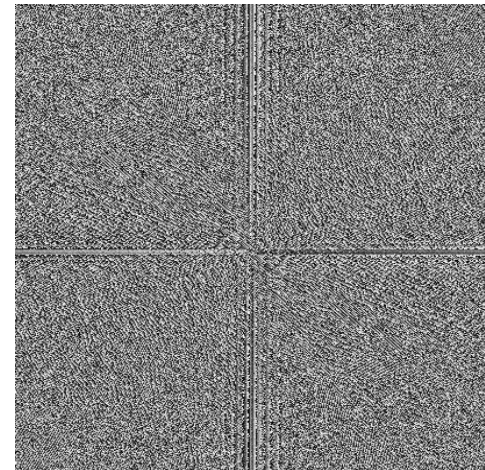
MÓDULO:

Amplitude de
cada onda 2D



FASE:

Direção de
cada onda 2D

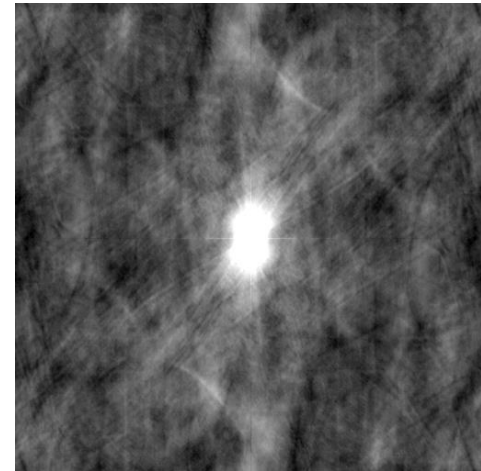
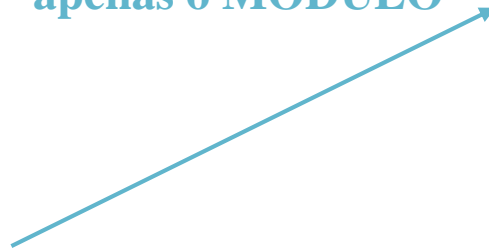


Magnitude x Fase

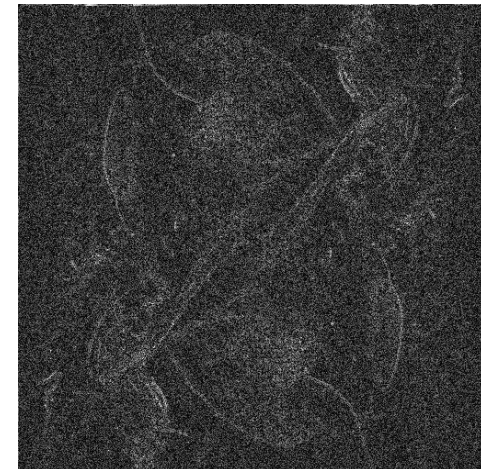
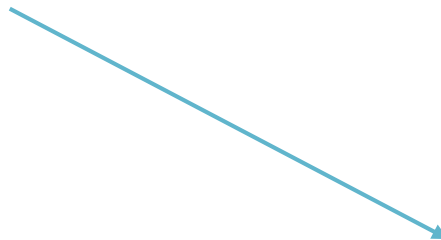
O que é mais importante?



Transformação
inversa usando
apenas o **MÓDULO**



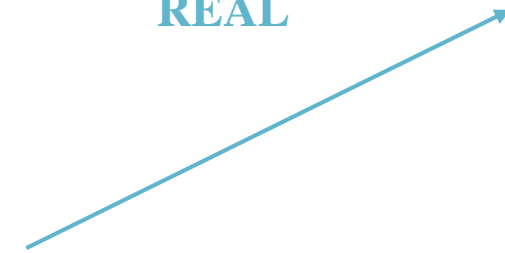
Transformação
inversa usando
apenas a **FASE**



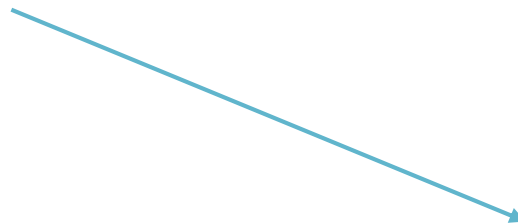
Parte Real x Parte Imaginária



Transformação inversa
usando apenas a parte
REAL



Transformação inversa
usando apenas a parte
IMAGINÁRIA



FIM